

# Die kontrollierte Kettenreaktion (The controlled nuclear chain reaction)

Andreas Aste  
Paul Scherrer Institute, CH-5232 Villigen PSI, Switzerland

September 29, 2015

## Zusammenfassung

Es werden die wichtigsten Aspekte der theoretischen Beschreibung einer kontrollierten nuklearen Kettenreaktion in kompakter Form diskutiert.

**PACS.** 28.41.-i Fission reactors

## Einführung

Der Inhalt der vorliegenden Schrift befasst sich mit der quantitativen Beschreibung der Kettenreaktion, wie sie in (kommerziellen) leichtwassermoderierten Leistungsreaktoren oder Forschungsreaktoren zu steuern ist. Das eigentliche Prinzip der Kettenreaktion ist simpel: die Spaltung von  $^{235}\text{U}$ -,  $^{239}\text{Pu}$ - oder  $^{233}\text{U}$ -Kernen durch moderierte, d.h. niederenergetische Neutronen setzt wiederum Neutronen frei, welche potenziell weitere Spaltungen im Brennstoff des Reaktors auslösen. Im Gegensatz zur unkontrollierten Kettenreaktion, bei welcher hochenergetische Neutronen im komprimierten, hochangereicherten Spaltstoff einer Kernwaffe innerhalb kürzester Zeit ( $10^{-6}\text{s}$ ) einen grossen Anteil der vorhandenen Kerne spalten und deren Spaltenergie freisetzen, ist die Kettenreaktion im Reaktor dank dem Vorhandensein verzögerter Neutronen steuerbar. Diese werden nicht wie die grosse Mehrzahl der Neutronen unmittelbar bei oder kurz nach der Kernspaltung durch die Spaltfragmente innerhalb von etwa  $10^{-14}$  Sekunden freigesetzt, sie werden vielmehr mit einer durchschnittlichen Verzögerung von etwa 13 Sekunden durch gewisse bei der Spaltung entstehende Kernbruchstücke emittiert, welche als Vorläufer bezeichnet werden. Ebenso wie die bei der Kernspaltung prompt freigesetzten Neutronen müssen auch die verzögerten Neutronen durch ein Moderator material abgebremst werden, damit sie mit ausreichender Wahrscheinlichkeit weitere Kernspaltungen auslösen können - schnelle Neutronen mit Geschwindigkeiten im Bereich von einigen tausend Kilometern pro Sekunde spalten die Spaltkerne nicht sehr effektiv.

Moderierte Neutronen bewegen sich in einem Reaktor bei Temperaturen um  $300^\circ\text{C}$  mit einer charakteristischen Geschwindigkeit von etwa  $3\text{km/s}$ . Auch wenn diese Neutronen fortwährend Kollisionen mit Atomkernen erleiden und daher jeweils nur geringe Distanzen der Grössenordnung eines Zentimeters von Stoss zu Stoss zurücklegen können, so breitet sich eine lokale Störung der Neutronendichte innerhalb eines Reaktors von wenigen Metern räumlicher Ausdehnung innerhalb Bruchteilen einer Sekunde aus. Dieses Verhalten rechtfertigt weitestgehend eine kollektive Beschreibung der Neutronen durch das sogenannte *Punktmodell*. Ausgehend von einem Minimum an Annahmen und Daten können im Rahmen dieses Modells zahlreiche interessante Aussagen über die Kinetik der Neutronenbilanz gemacht werden.

## Stationärer Reaktor (Punktmodell)

Im Rahmen des sogenannten Punktmodells beschreibt man einen Reaktorkern als homogenes Objekt ohne innere Substruktur - quasi als Punkt. Durch dieses Modell können ausgehend von einigen grundlegenden Beobachtungen weitgehende Konsequenzen abgeleitet werden, welche in der Folge dargelegt werden sollen.

In diesem Abschnitt betrachten wir vorerst den stationären Reaktor, in welchem gewisse physikalischen Größen wie beispielsweise die Zahl freier Neutronen im Reaktor oder die Leistung des Reaktors zeitlich konstant sind - zumindest auf makroskopischen Zeitskalen der Größenordnung Stunden oder gar länger. Als erste Annahme setzen wir an, dass die *thermische* Neutronenproduktionsrate  $P$  in einem Reaktor *durch Kettenreaktion* proportional zur Anzahl bereits vorhandener thermischer Neutronen ist:

$$P = \mathcal{P} \cdot n. \quad (1)$$

Dies ist einleuchtend, da eine Verdoppelung der Neutronenzahl im Reaktor auch eine Verdoppelung der durch die Neutronen induzierten Kernspaltungen nach sich ziehen würde, welche wiederum die Quelle für die Freisetzung weiterer Neutronen sind. Tatsächlich stösst die in Gleichung (1) implizit getroffene Annahme, dass  $\mathcal{P}$  eine Proportionalitätskonstante ist, spätestens dann an ihre Grenzen, wenn eine Erhöhung der Neutronenzahl und die damit verbundene Leistungserhöhung des Reaktors die Kettenreaktion durch die Erhitzung des Brennstoffs und des Moderators zu beeinflussen beginnt. Bei niedrigen Leistungen im Promillebereich, im sogenannten Anfahrbereich eines Reaktors, ist  $\mathcal{P} = konst.$  aber eine gerechtfertigte Annahme.

Die *Produktionswahrscheinlichkeit*  $\mathcal{P}$  hat die physikalische Dimension einer inversen Zeit, entsprechend definiert man die sogenannte *Generationszeit* (*mean generation time*)

$$\Lambda = \frac{1}{\mathcal{P}}. \quad (2)$$

In vielen kommerziellen Reaktoren gilt in guter Näherung  $\Lambda \simeq 10^{-5}\text{s} \dots 10^{-4}\text{s}$ . Die thermische Neutronenproduktionsrate  $P$  in Reaktoren, welche beispielsweise eine thermische Leistung im Gigawattbereich aufweisen, beträgt einige  $10^{20}\text{s}^{-1}$ . Da ein einzelnes Neutron zugleich aber nur etwa  $10^{-4}$  Sekunden in einem solchen Reaktor überlebt, finden sich im Reaktor insgesamt etwa  $n = P/\mathcal{P} \approx 10^{16}$  (freie) Neutronen. Verteilt auf das Gesamtvolumen des Reaktorkerns folgt daraus eine Neutronendichte  $n_{\square}$  von rund  $10^8$  Neutronen pro Kubikzentimeter. Damit bilden die freien Neutronen in einem Leistungsreaktor ein äusserst dünnes Gas, wenn man bedenkt, dass ein Kubikzentimeter Wasser bei Raumtemperatur und Normaldruck etwa  $3.3 \cdot 10^{22}$  Wassermoleküle enthält.

In sogenannten *schnellen Brütern* ist die Generationszeit mit etwa  $10^{-6} \dots 10^{-7}\text{s}$  bedeutend kürzer als in einem thermischen Reaktor, da dort die Neutronen wenig abgebremst (moderiert) werden und bei einer Energie von etwa  $10^5\text{eV}$  Kernspaltungen in hoch angereichertem plutoniumhaltigem Material auslösen. Die in der Atom-, Kern- und Teilchenphysik verwendete Energieeinheit Elektron(en)volt mit der Einheitenbezeichnung eV beträgt dabei etwa  $1.602 \cdot 10^{-19}\text{J}$ . Thermische Neutronen in einem thermischen Reaktor hingegen haben statistisch verteilte kinetische Energien im Bereich von etwa  $0.025\text{eV}$  bei der Raumtemperatur von  $293\text{K} \sim 20^{\circ}\text{C}$  und von  $0.05\text{eV}$  in einem Leistungsreaktor bei einer etwa doppelt so grossen (Moderator-)Temperatur von  $573\text{K} \sim 300^{\circ}\text{C}$ . Mit etwa  $10^{-8}\text{s}$  ist die Generationszeit in einer unkontrollierten Kettenreaktion, wie sie bei einer auf Kernspaltung basierenden Explosion einer Kernwaffe ("Atombombe") auftritt, noch einmal bedeutend kürzer. In dieser von der kontrollierten Kettenreaktion in einem thermischen Reaktor klar zu unterscheidenden Situation löst jede Kernspaltung durch schnelle Neutronen etwa zwei weitere Kernspaltungen aus, sodass innerhalb von etwa

$10^{-6}$ s eine Energie von mehreren hundert Billionen Joule freigesetzt werden kann.

Die Produktionsrate  $P$  lässt sich leicht aus der thermischen Leistung eines Reaktors abschätzen. Bei einer Kernspaltung im Reaktor wird durchschnittlich eine Reaktionswärme von etwa  $196\text{MeV}$  freigesetzt, also  $1.96 \cdot 10^8 \cdot 1.6 \cdot 10^{-19}\text{J} = 3.14 \cdot 10^{-11}\text{J}$ . Bei 3 Gigawatt ( $3 \cdot 10^9\text{Js}^{-1}$ ) thermischer Leistung folgt, dass im Reaktor somit etwa  $3 \cdot 10^9\text{J}/3 \cdot 10^{-11}\text{J} = 10^{20}$  Kernspaltungen pro Sekunde statt finden. Weiter werden bei einer Kernspaltung durchschnittlich  $\nu = 2.5$  Neutronen hochenergetische Neutronen erzeugt, welche aber anschliessend in den thermischen Energiebereich abgebremst werden müssen. Der Anteil der Neutronen, die diesen Moderationsprozess erfolgreich überdauern, wird durch die sogenannte Moderationsfähigkeit  $W_{th}$  des Reaktors beschrieben, welche beispielsweise für Druck- oder Siedewasserreaktoren im Bereich von  $W_{th} \simeq 0.8$  liegt. Somit entstehen pro Kernspaltung letztlich im Mittel etwa 2 thermische Neutronen, von denen im Mittel eines wieder eine Kernspaltung bewirken muss, wenn die Kettenreaktion auf konstanten Niveau beibehalten werden soll. Die überschüssigen Neutronen müssen im Reaktormaterial eingefangen werden oder durch Leckage aus dem Reaktor austreten. Die Absorption der Neutronen kann insbesondere durch Steuerstäbe gezielt beeinflusst werden. In Druckwasserreaktoren wird dem Kühlwasser zur Reaktivitätsregelung auf längerfristiger Zeitskala zudem Bor in Form von Borsäure beigesetzt, da sich das im natürlichen Bor vorhandene Bor-Isotop  $^{10}\text{B}$  als starker Neutronenabsorber zur Reaktivitätsbindung eignet. Im Siedewasserreaktor kann durch ändern der Kühlwassermenge, welche den Reaktorkern durchfließt (Kernmassenstrom), auch die Moderationsfähigkeit des Reaktors gezielt beeinflusst werden. Unvermeidlicher Einfang von Neutronen findet auch in Kernspaltungsprodukten wie zum Beispiel den Isotopen  $^{135}\text{Xe}$  oder  $^{149}\text{Sm}$ , dem Moderator oder im Brennstoff selbst statt. Die den Brennstoff einschliessenden Hüllrohre bestehen aus einleuchtenden Gründen aus korrosionsbeständigen (Zirkonium-)Legierungen hoher Neutronendurchlässigkeit wie beispielsweise Zirkalloy.

Eine ungefähre Berechnungsformel für die Neutronenproduktionswahrscheinlichkeit  $\mathcal{P}$  findet sich im Anhang hergeleitet.

Anschaulich gesprochen entspricht die Generationszeit  $\Lambda$  derjenigen Zeit, in der eine gewisse Anzahl bereits vorhandener thermischer Neutronen in einem Reaktor mit konstant gehaltener Struktur durch Kernspaltung dieselbe Anzahl neuer thermischer Neutronen erzeugt. Natürlich werden bei einer (typischerweise durch thermische Neutronen ausgelöst) Kernspaltung zuerst schnelle Neutronen mit einer durchschnittlichen kinetischen Energie von etwa  $\bar{E} = 2\text{MeV} = 3.2 \cdot 10^{-13}\text{J}$  und einer entsprechenden Geschwindigkeit  $\sqrt{2\bar{E}/m_n} \simeq 20000\text{km}\cdot\text{s}^{-1}$  freigesetzt, wobei die Neutronenruhemasse durch  $m_n = 1.675 \cdot 10^{-27}\text{kg}$  gegeben ist und relativistische Effekte bei den diskutierten Geschwindigkeiten noch keine relevante Rolle spielen. Die schnellen Neutronen werden aber innerhalb einer Zeitskala von einigen millionstel Sekunden in den thermischen Bereich abgebremst. Thermische Neutronen werden oft durch eine etwas willkürliche *cutoff*-Bedingung an ihre kinetische Energie der Art  $E_{kin} < 5 \cdot k_B T_M$  definiert. Dabei ist  $T_M$  die Moderatortemperatur und  $k_B = 1.38 \cdot 10^{-23}\text{JK}^{-1}$  die Boltzmann-Konstante.

Von den im Reaktor vorhandenen thermischen Neutronen gehen also einige verlustig, ohne jemals eine Kernspaltung auszulösen. Einerseits werden Neutronen im Reaktormaterial absorbiert, andererseits werden auch thermische Neutronen aus dem Reaktor hinausgestreut (Leckage). Für die Verlust- oder *Destruktionsrate*  $D$  setzt man mit Hilfe der *Destruktionswahrscheinlichkeit*  $\mathcal{D}$  ganz allgemein an:

$$D = \mathcal{D} \cdot n. \quad (3)$$

$\tau = 1/\mathcal{D}$  ist die mittlere Lebensdauer eines thermischen Neutrons im Reaktor, gemessen ab dem Zeitpunkt seiner Entstehung als promptes oder verzögert emittiertes Neutron. Stellen wir uns als Gedankenexperiment vor,

dass in einem Reaktor plötzlich keine neuen Neutronen mehr erzeugt würden, so würde die Anzahl verbleibender Neutronen gemäss der Zerfallsgleichung

$$\frac{dn}{dt} = -\mathcal{D} \cdot n \quad \rightarrow \quad n(t) = n_0 \cdot e^{-\mathcal{D} \cdot t} = n_0 \cdot e^{-t/\tau} \quad (4)$$

abnehmen. Nach der Zeit  $\tau$  wäre die Anzahl der Neutronen um einen Faktor  $e \simeq 2.718\dots$  reduziert, und die mittlere Lebensdauer der Neutronen ist, wie aus der Theorie der radioaktiven Zerfälle bekannt, ebenso durch  $\tau$  gegeben. Die Destruktionswahrscheinlichkeit  $\mathcal{D} = \mathcal{A} + \mathcal{L}$  lässt sich als Summe einer Absorptionswahrscheinlichkeit  $\mathcal{A}$  und einer Leckgewahrscheinlichkeit  $\mathcal{L}$  darstellen.

Schliesslich werden in einem Reaktor durch Zerfälle radioaktiver Substanzen fortlaufend Neutronen freigesetzt, wobei es sich bei den betreffenden Zerfällen primär um *spontane Spaltung* handelt. Die spontan spaltenden Substanzen entstehen beim Betrieb des Reaktors (wichtig sind die Curium-Isotope  $^{242}\text{Cm}$  und  $^{244}\text{Cm}$ ); zugleich besteht die Möglichkeit, in einen Reaktor eine künstliche Neutronenquelle gezielt einzubringen (wie zum Beispiel eine  $^{252}\text{Cf}$ -Quelle, deren spontan spaltendes Californium in einem Hochflussreaktor erbrütet wurde, oder eine sogenannte Alpha-Beryllium-Neutronenquelle oder eine Gamma-Beryllium-Neutronenquelle). Die totale thermische Neutronenproduktionsrate aller vorhandenen Quellen sei im Folgenden mit  $Q_{th}$  bezeichnet.

In einem stationären Kernreaktor ist die die Änderungsrate der Neutronenzahl  $\dot{n}(t) = \frac{d}{dt}n(t)$  somit gegeben durch

$$\dot{n} = P - D + Q_{th} = (\mathcal{P} - \mathcal{D}) \cdot n + Q_{th} = 0. \quad (5)$$

Weiter soll daher vorerst für unsere Betrachtungen  $\mathcal{P} < \mathcal{D}$  gelten. Der Reaktor ist dann unterkritisch, die Kettenreaktion defizitär, da durch diese mehr Neutronen vernichtet werden als erzeugt. Dann kann Gleichung (5) in der Form

$$\frac{\mathcal{P} - \mathcal{D}}{\mathcal{P}} \cdot n + \Lambda \cdot Q_{th} = 0 \quad (6)$$

geschrieben werden. Führt man die praktische Abkürzung

$$\rho = \frac{\mathcal{P} - \mathcal{D}}{\mathcal{P}} \quad (7)$$

ein, so gilt

$$\rho \cdot n + \Lambda \cdot Q_{th} = 0. \quad (8)$$

Tatsächlich lässt sich die Generationszeit  $\Lambda$  in einem Reaktor ja näherungsweise mit der mittleren Lebensdauer  $\tau$  vergleichen, die einem Neutron für das Durchlaufen des *Neutronenzyklus* (welchen wir in der Folge auch als *Fermizyklus* bezeichnen wollen) von seiner Entstehung bei einer Kernspaltung oder seiner Freisetzung durch einen Vorläufer bis zum Auslösen einer erneuten Kernspaltung oder seiner Absorption innerhalb oder ausserhalb des Reaktors zur Verfügung steht. Präziser ausgedrückt ist  $\Lambda$  die Zeitspanne, in welcher sich in einem stationären Reaktor eine Neutronenpopulation vollständig selbst reproduziert. Im unterkritischen Reaktor ist dabei  $\Lambda > \tau$ , offensichtlich sterben die Neutronen schneller als sie für ihre arterhaltende Fortpflanzung brauchen würden. Gleichung (8) erhält damit eine einfache Interpretation: Während einer Generationszeit  $\Lambda$  werden in einem Kernreaktor  $\Lambda \cdot Q_{th}$  Neutronen durch die Quelle(n) erzeugt, während von den vorhandenen  $n$  Neutronen  $\rho \cdot n$  Neutronen durch den defizitären Fermizyklus vernichtet werden. Im stationären Zustand halten sich diese beiden Prozesse die Waage, und die Neutronenquellstärke des Reaktors gleicht den Neutronenverlust gerade aus.

Die Grösse  $\rho$  wird *Reaktivität* genannt. Offensichtlich ist  $\rho$  negativ, wenn  $\mathcal{P} < \mathcal{D}$ . Im stationären Fall mit  $\rho < 0$  (im sogenannten *Quellbereich*) folgt aus Gleichung (8)

$$n = -\frac{1}{\rho} \cdot \Lambda \cdot Q_{th}. \quad (9)$$

Da die Reaktivität in der Praxis meist eine kleine Zahl  $|\rho| \ll 1$  ist, wird sie üblicherweise in der Einheit pcm (Abkürzung für *pour cent mille, per cent mille*) angegeben. Dabei ist  $1\text{pcm} = 10^{-5}$ , eine Reaktivität von 0.0005 ist also gleich 50pcm.

Ein Reaktor mit  $\rho < 0$  heisst unterkritisch, und aus Gleichung (9) wird ersichtlich, dass die stationäre Neutronenzahl in einem Reaktor stark ansteigt, wenn die negative Reaktivität eines Reaktors in die Nähe des Wertes  $\rho = 0$  gerückt wird. An diesem Anstieg von  $n \sim -1/\rho$  lässt sich messtechnisch erkennen, wann der kritische Zustand  $\rho = 0$  (oder  $\mathcal{P} = \mathcal{D}$ ) eines Reaktor unmittelbar bevorsteht. Das entsprechende *kritische Experiment* ermöglicht erst das sichere Kritischfahren eines Reaktors aus dem Quellbereich heraus. Der Quellbereich wird auch als Impulsbereich bezeichnet, da sich in einem stark unterkritischen Leistungsreaktor ( $\rho < -1\% = -1000\text{pcm}$ ) oft nur noch wenige Millionen Neutronen befinden, die in den sich ausserhalb des Reaktors befindenden Neutronendetektoren nur noch wenige Messimpulse pro Sekunde auslösen, ganz im Gegensatz zum Leistungsbetrieb, wo die Neutronenzahl mühelos um zehn Zehnerpotenzen grösser sein kann.

Technisch kann die Reaktivität beispielweise durch das *Ausfahren* von Steuerstäben gesteuert werden. Dadurch werden im Reaktor weniger Neutronen absorbiert, die Destruktionsrate so gesenkt und  $\rho$  erhöht. Die resultierende Erhöhung der Neutronenzahl im Reaktor führt zur Erhöhung der lokalen thermischen Neutronenflussdichten, welche durch (externe) Neutronendetektoren detektiert werden können. Die Neutronenflussdichte  $\Phi_{th} = n_{th}^{\square} \cdot \bar{v}$  ist definiert als das Produkt der thermischen Neutronendichte  $n_{th}^{\square}$  mit der (mittleren) Geschwindigkeit  $\bar{v}$  der thermischen Neutronen. Sie ist eine effektive Grösse, welche mit der thermischen Reaktorleistung in unmittelbarem Zusammenhang steht. Die oben verwendete explizite Indizierung der thermischen Neutronenzahl oder der thermischen Neutronendichte durch *th* wird in dieser Arbeit aber nur im Bedarfsfall angewendet, da bei den meisten Betrachtungen sowieso nur thermische Neutronen von Bedeutung sind.

### Der Multiplikationsfaktor

Alternativ zur Reaktivität  $\rho$  ist auch die alternative formale Verwendung des Multiplikationsfaktors

$$k = \mathcal{P}/\mathcal{D} = \tau/\Lambda \quad (10)$$

von praktischem Nutzen. Gemäss der Definition besteht also die Beziehung

$$\rho = \frac{\mathcal{P} - \mathcal{D}}{\mathcal{P}} = \frac{k - 1}{k}, \quad k = \frac{1}{1 - \rho}. \quad (11)$$

Damit kann Gleichung (8) auch in der Form

$$(k - 1)n = -k \cdot \Lambda \cdot Q_{th} = -\frac{\mathcal{P}}{\mathcal{D}} \cdot \frac{1}{\mathcal{P}} \cdot Q_{th} = -\tau \cdot Q_{th} \quad (12)$$

geschrieben werden. Innerhalb der mittleren Neutronenlebensdauer  $\tau$  nähme also die Neutronenzahl in einem stationären unterkritischen Reaktor (mit  $k < 1$ ) von  $n$  um den Multiplikationsfaktor  $k$  auf  $k \cdot n$  ab, würde die Quelle den Neutronenverlust  $(k - 1)n$  nicht mit  $\tau \cdot Q_{th}$  Neutronen kompensieren. Im überkritischen Reaktor mit  $k > 1$  wächst die Neutronenzahl auch ohne Quelle "multiplikativ" oder exponentiell an. Dieser dynamische Vorgang muss zum besseren Verständnis aber einer etwas detaillierteren Betrachtung unterzogen werden.

## Kinetische Grundgleichungen

Wollten wir das instationäre, zeitliche Verhalten der Neutronenzahl in einem Reaktor untersuchen, so wäre ein voreiliger Ansatz gegeben durch

$$\dot{n} = \frac{\rho}{\Lambda} \cdot n + Q_{th} \quad \text{oder} \quad \Lambda \cdot \dot{n} = \rho \cdot n + \Lambda \cdot Q_{th}. \quad (13)$$

Diese Gleichung drückt folgenden Umstand aus: Während einer Generationszeit werden im Kernreaktor  $\Lambda \cdot \dot{n}$  thermische Neutronen gebildet ( $\dot{n}$  kann in dieser kurzen Zeitspanne als konstant betrachtet werden), davon werden  $\Lambda \cdot Q_{th}$  Neutronen durch die Quelle und  $\rho \cdot n$  Neutronen durch die Kettenreaktion erzeugt.

Nun werden bei einer Kernspaltung tatsächlich nicht alle Neutronen sofort, also *prompt* freigesetzt. Es kommt vor, dass bei einer Kernspaltung Bruchstücke des ursprünglichen Spaltkerns entstehen, die erst mit einer zeitlichen Verzögerung in der Grössenordnung von einigen Sekunden bis Minuten schliesslich doch noch ein Neutron emittieren. Bereits 1939 wurde dieser Umstand bemerkt [1]. Solche Kerne werden *Vorläufer* (*delayed neutron precursors*) genannt. Bis 2001 waren 382 verschiedene Vorläufer bekannt [2].

In einem vereinfachten, aber zweckmässigen Modell kann angenommen werden, dass alle Vorläufer dieselbe Lebensdauer besitzen. Für viele Betrachtungen ist eine durchschnittliche Lebensdauer von  $l = 13\text{s}$  ein praktischer Wert. Dann ist es so, dass in einem Reaktor fortlaufend Vorläufer erzeugt werden, die wiederum Neutronen freisetzen. Experimentell findet man, dass bei einer Kernspaltung in reinem  $^{235}\text{U}$  etwa  $\beta = \beta_{U-235} = 0.64\%$  der Neutronen verzögert freigesetzt werden. Der Wert von  $0.64\%$  für den Anteil verzögerter Neutronen, welcher auf eine klassische Arbeit [3] zurückgeht und in der Literatur weit verbreitet ist, soll in der Folge als Grundlage verwendet werden. Modernere Arbeiten favorisieren etwas höhere Werte im Bereich  $\beta_{U-235} = (0.665 \pm 0.021)\%$  (siehe auch [4]).

Die resultierenden Bilanzgleichungen für die Neutronenzahl  $n$  und Vorläuferzahl  $C$  lauten somit

$$\dot{n} = \frac{\rho - \beta}{\Lambda} n + \lambda C + Q_{th} \quad (14)$$

und

$$\dot{C} = \frac{\beta}{\Lambda} n - \lambda C. \quad (15)$$

Diese Gleichungen werden auch (vereinfachte) *kinetische Grundgleichungen* der Reaktorkinetik oder reaktordynamische Punktgleichungen genannt.

Der Term  $-\frac{\beta}{\Lambda} \cdot n$  in der ersten Gleichung (14) berücksichtigt den Umstand, dass in jedem einmal durchlaufenen neutronenzahlerhaltenden Fermizyklus der Dauer  $\Lambda$  jeweils  $\beta \cdot n$  Neutronen für die Vorläuferproduktion abgezweigt werden. Zugleich zerfallen  $C$  momentan vorhandene Vorläufer mit einer Rate von  $\lambda \cdot C$  und setzen dabei ein Neutron frei. Die Zerfallsrate beim radioaktiven Zerfallsgesetz ist über die Beziehung  $\lambda = 1/l$  mit der mittleren Lebensdauer der zerfallenden Kerne verknüpft.

Die zweite Gleichung (15) beschreibt die Produktion der Vorläufer durch Neutronen ( $\beta \cdot n$  Vorläufer pro Fermizyklus der Dauer  $\Lambda$ ) und berücksichtigt auch deren Zerfallsrate durch den Term  $-\lambda C$ .

Tatsächlich werden die prompten Neutronen mit einer durchschnittlichen Energie von etwa 2 MeV (siehe Anhang), die verzögerten Neutronen mit durchschnittlich etwa 0.5 MeV freigesetzt. Daher ist die Thermalisierungswahrscheinlichkeit, also die Wahrscheinlichkeit, dass ein hochenergetisches Neutron in den thermischen Bereich abgebremst werden kann, für prompte und verzögerte Neutronen nicht wirklich gleich. Die Grössen  $C$  und  $\beta$  in den kinetischen Grundgleichungen entsprechen effektiven, thermisch gewichteten Grössen, die aber von der tatsächlichen Vorläuferzahl und dem naiv definierten  $\beta$ -Wert in realistischen Fällen nicht stark abweichen. Eine ähnliche Aussage gilt für die Neutronenzahl  $n$  in den reaktorkinetischen Grundgleichungen (Punktgleichungen). Ein Neutron, welches am Rande eines Reaktors entsteht, löst auf Grund seiner hohen Leckagewahrscheinlichkeit mit geringerer Wahrscheinlichkeit eine weitere Kernspaltung aus und trägt so weniger zur Neutronenbilanz bei als ein im Inneren des Reaktors entstandenes Neutron. Diesem Umstand kann mit Hilfe einer Gewichtungsfunktion oder Einflussfunktion  $\Phi^\dagger$  (*importance function*) Rechnung getragen werden, aus welcher sich eine für die Punktgleichungen relevante gewichtete Neutronenzahl der Form

$$n = \int_{\text{Reaktorkern}} \Phi^\dagger(\vec{r}) n_{th}^\square(\vec{r}) dV \quad (16)$$

errechnen lässt. Trotzdem ist es für das Verständnis der Reaktorkinetik hinreichend, wenn  $n$  als eigentliche Gesamtzahl der thermischen Neutronen aufgefasst wird. In guter Näherung kann  $\Phi^\dagger$  zur im Reaktor herrschen Neutronenflussdichte  $\Phi_{th}$  proportional gesetzt werden.

Weiter muss bemerkt werden, dass die bei der Kernspaltung entstehenden Vorläuferkerne bei etwas präziseren Betrachtungen typischerweise in sechs Gruppen von Vorläufern mit jeweils vergleichbaren Lebensdauern zusammengefasst werden. Es wird in diesem Falle die Anzahl der in Gruppe  $i$  zusammengefassten Vorläufer, welche ein verzögertes Neutron freisetzen werden, durch eine effektive Anzahl  $C_i$  und eine mittlere Gruppenzerfallskonstante  $\lambda_i$  angegeben. Eine eigene "Gruppe" bildet der langlebigste Vorläufer  $^{87}\text{Br}$  mit einer Lebensdauer von  $1/\lambda_6 = 80.387$  Sekunden oder einer Halbwertszeit von 55.72s (siehe Anhang). Ein  $^{87}\text{Br}$ -Kern wandelt sich aber mit 97%-iger Wahrscheinlichkeit durch  $\beta^-$ -Zerfall in einen  $^{87}\text{Kr}$ -Kern um, bei lediglich 2.6% der Zerfälle vollzieht sich ein  $\beta^-n$ -Zerfall, bei dem bei einem  $\beta$ -Zerfall zugleich noch ein Neutron emittiert wird - bei diesem Prozess entsteht stabiles  $^{86}\text{Kr}$ . Die entsprechende Vorläuferzahl  $C_6$  zählt nur diesen Anteil der für die Kettenreaktion relevanten  $^{87}\text{Br}$ -Kerne.

Im stationären Reaktor gilt  $\dot{C} = 0$ , wegen Gleichung (15) folgt

$$\dot{C} = 0 = \frac{\beta}{\Lambda} n - \lambda C, \quad \text{es ist also} \quad C = \frac{\beta}{\lambda \Lambda} n \simeq 10^3 n. \quad (17)$$

Die Vorläuferzahl übertrifft die Neutronenzahl im stationären Reaktor bei Weitem und die Vorläufer stellen ein grosses, träges Reservoir an latenten Neutronen dar.

Offensichtlich ist im stationären Zustand auch  $\lambda C = \frac{\beta}{\Lambda} n$  und somit folgt weiter mit Gleichung (14) im stationären Zustand

$$0 = \frac{\rho - \beta}{\Lambda} n + \lambda C + Q_{th} = \frac{\rho - \beta}{\Lambda} n + \frac{\beta}{\Lambda} n + Q_{th} = \frac{\rho}{\Lambda} n + Q_{th}, \quad (18)$$

wie es in den einführenden Betrachtungen dargelegt wurde.

## Zeitverhalten der Neutronenzahl im Reaktor mit konstanter Reaktivität $\rho$

### Lösung der vereinfachten kinetischen Grundgleichungen: Vorbetrachtungen

Die vereinfachten kinetischen Grundgleichungen mit einer Vorläufergruppe lauten für die (gewichtete) Neutronenzahl  $n$  und die thermisch gewichtete Vorläuferzahl  $C$  bei Vernachlässigung der Quelle

$$\dot{n} = \frac{\rho - \beta}{\Lambda} n + \lambda C, \quad (19)$$

$$\dot{C} = \frac{\beta}{\Lambda} n - \lambda C, \quad (20)$$

wobei  $\Lambda \simeq 10^{-4}$  s die Generationszeit,  $\beta \simeq 0.64\% = 0.0064$  den (effektiven) Anteil verzögerter (thermischer) Neutronen in einem mit reinem  $^{235}\text{U}$  betriebenen Reaktor und  $\lambda = 1/l \simeq 0.0773\text{s}^{-1}$  die durchschnittliche Zerfallskonstante der Vorläufer darstellt. Die Reaktivität  $\rho$  kann durch externe Einflüsse kurzfristig variiert werden. Für grobe Abschätzungen kann auch  $\Lambda \simeq 10^{-4}\text{s}$ ,  $\lambda = 0.1\text{s}^{-1}$  oder  $l = 10\text{s}$  und  $\beta = 0.01 = 10^{-2}$  angenommen werden.

Bei schwach angereichertem Uran spielt die Schnellspaltung des  $^{238}\text{U}$  eine Rolle. Da bei der Spaltung von  $^{238}\text{U}$ -Kernen gar etwa 1.5% der Neutronen verzögert freigesetzt werden, kann das effektive  $\beta$  in Versuchsreaktoren wie zum Beispiel dem CROCUS der Eidgenössischen Technischen Hochschule in Lausanne, welcher nur schwach angereichertes Uran enthält, einen Wert von 0.78% erreichen. Dabei spielt auch der Umstand eine Rolle, dass prompte Neutronen auf Grund ihrer hohen Energie ( $E_{kin} \simeq 2\text{MeV}$ ) mit einer etwas grösseren Wahrscheinlichkeit aus einem kleinen Versuchsreaktor herausgestreut werden als die etwas energieärmeren verzögerten Neutronen ( $E_{kin} \simeq 0.5\text{MeV}$ ). Da in kommerziellen Reaktoren im Verlaufe ihres Betriebs Plutonium mit  $\beta_{Pu-239} = 0.21\%$  erbrütet wird, nimmt der Anteil verzögerter Neutronen im Verlaufe des Leistungsbetriebs wiederum leicht ab. Eine Abnahme von  $\beta_{BOC} = 0.6\%$  auf  $\beta_{EOC} = 0.5\%$  (BOC/EOC: beginning/end of cycle) im Verlaufe eines Betriebsjahres wäre für einen Gigawatt-Leichtwasserreaktor mit einem Durchschnittskern, welcher Brennelemente unterschiedlichen Alters enthält, recht typisch.

Die obige Form der kinetischen Grundgleichungen vernachlässigt offensichtlich den Einfluss einer Neutronenquelle, die unabhängig von der Kernspaltung mit zeitlich etwa konstanter Rate  $Q_{th}$  thermische Neutronen im Reaktor erzeugt. Diese Näherung ist im einem Leistungsreaktor (mit  $\rho > 0$  im Anfahrbereich oder  $\rho = 0$  im stationären Leistungsbereich) meistens sinnvoll, wenn die Neutronenproduktionsrate durch Kettenreaktion die Neutronenerzeugungsrates durch Zerfälle um mehrere Zehnerpotenzen übersteigt. Im Anfahrbereich ist die Leistung des Reaktors noch so gering, dass diese nicht auf den Wert der Reaktivität merklich rückkoppelt.

Für  $\rho \leq 0$  muss Gleichung (19) ersetzt werden durch

$$\dot{n} = \frac{\rho - \beta}{\Lambda} n + \lambda C + Q_{th}, \quad (21)$$

mit entsprechenden Konsequenzen, die später diskutiert werden.

Im stationären Zustand gilt nun  $\dot{n} = \dot{C} = 0$ , *per definitionem* sind in einem stationären Zustand physikalisch messbare Grössen zeitlich unveränderlich. Gemäss Gleichung (17) gilt im stationären Zustand  $C = \frac{\beta}{\lambda\Lambda} n$ . Befindet sich ein Reaktor also im stationären Zustand und wird in diesem gestört, so gilt anfänglich

$$\frac{\beta}{\Lambda} n = \lambda C. \quad (22)$$

Ist weiter die Reaktivität  $\rho$  von ähnlicher Grössenordnung wie  $\beta$ , so ist auch  $\frac{\beta}{\Lambda}n$  von ähnlicher Grössenordnung wie  $\frac{\rho-\beta}{\Lambda}n$ . Daher ändert sich die Neutronenzahl zeitlich um ähnliche Beträge wie die der Vorläufer (solange der Reaktor *prompt unterkritisch* bleibt:  $\rho < \beta$  beziehungsweise  $\rho_p = \rho - \beta < 0$ ), doch diese sind etwa tausendfach zahlreicher. Entsprechend reagiert die Vorläuferzahl etwa tausendfach langsamer als die Neutronenzahl auf Störungen des stationären Zustandes. Diese Aussage gilt allerdings nicht mehr im *prompt überkritischen* Reaktor mit  $\rho > \beta$ , in dem die Neutronenzahl schon kurze Zeit nach dem Erreichen der gefährlich hohen Reaktivität die Vorläuferzahl übertreffen kann.

Die entsprechenden Zeitskalen im prompt unterkritischen Reaktor sind für den Bereich  $0 \leq \rho < 0.9\beta$  gegeben durch die *prompte Zeitkonstante*  $\omega_{pr}$

$$t_{e,pr} = \frac{1}{\omega_{pr}} = \frac{\Lambda}{\beta - \rho} \simeq \frac{10^{-4} \text{ s}}{0.01 \dots 0.001} = 0.01 \dots 0.1 \text{ s}, \quad (23)$$

dabei nennt man  $t_{e,pr}$  auch die *prompte Zeitverzögerung*, die sogenannte verzögerte Zeitkonstante ist gegeben durch  $\omega_v = 1/t_{e,v} = \lambda \simeq 0.1 \text{ s}^{-1}$ .  $t_{e,v}$  heisst verzögerte Zeitverzögerung, auf dieser Zeitskala reagieren die Vorläufer in der Eingruppennäherung auf Änderungen der Neutronenbilanz.

Bevor die exakten Lösungen der Eingruppengleichungen untersucht werden, soll an dieser Stelle kurz die Situation diskutiert werden, bei der die Reaktivität  $\rho_0$  in einem Reaktor mit  $n_0$  Neutronen abrupt einen neuen Wert  $\rho$  annimmt. Vereinfachend soll dabei gelten, dass innerhalb des betrachteten Zeitrahmens die Vorläuferzahl als eine Konstante betrachtet werden darf. Aus

$$\dot{n} = \frac{\rho - \beta}{\Lambda}n + \lambda C = \frac{\rho_p}{\Lambda}n + \lambda C \quad (24)$$

mit der sogenannten *prompten Reaktivität*  $\rho_p < 0$  folgt so

$$n(t) = \left( n_0 + \frac{\lambda\Lambda}{\rho_p} \cdot C \right) e^{\frac{\rho_p}{\Lambda}t} - \frac{\lambda\Lambda}{\rho_p} \cdot C. \quad (25)$$

Dieser zeitliche Verlauf der Neutronenzahl löst offensichtlich Gleichung (24) mit der Anfangswertbedingung  $n(t=0) = n_0$ . Die Lösung zerfällt mit der charakteristischen Zeitskala  $t_{e,pr}$  gegen den (quasi)stationären Gleichgewichtswert  $n(t \gg t_{e,pr}) = (\lambda\Lambda/|\rho_p|) \cdot C$ . Letztlich reagiert aber auf einer grösseren Zeitskala auch die Vorläuferzahl auf die veränderten Bedingungen.

Bei einer schnellen Änderung der Reaktivität eines *prompt unterkritischen* Reaktors schwingt die Neutronenzahl also innerhalb von Bruchteilen einer Sekunde wieder in ein *quasistationäres Gleichgewicht* mit den Vorläufern ein, sodass näherungsweise gilt

$$n = \frac{\lambda\Lambda}{|\rho_p|} \cdot C = \frac{\lambda\Lambda}{\beta - \rho} \cdot C. \quad (26)$$

Mit grösserer Verzögerung stellt sich schliesslich auch eine Änderung der Vorläuferzahl ein. Nähert sich der Wert der Reaktivität dem prompt kritischen Wert  $\rho = \beta$ , so werden die oben gemachten Annahmen unzulässig. Die prompte Reaktivität  $\rho_p = \rho - \beta$  misst sozusagen den Abstand von dieser Schwelle.

### Lösung (mit spezieller Betrachtung des verzögert überkritischen Zustands $0 < \rho < \beta$ )

Um die vereinfachten kinetischen Grundgleichungen *exakt* zu lösen, leiten wir Gleichung (19) zuerst noch einmal ab und erhalten flugs

$$\ddot{n} = \frac{\rho - \beta}{\Lambda}\dot{n} + \lambda\dot{C} \quad (27)$$

Aus der Summe von Gleichung (19) und (20) folgt aber sofort

$$\dot{C} + \dot{n} = \frac{\rho}{\Lambda} n \quad \text{oder} \quad \lambda \dot{C} = \frac{\lambda \rho}{\Lambda} n - \lambda \dot{n}, \quad (28)$$

ersetzen wir also  $\lambda \dot{C}$  in Gleichung (27) durch den Ausdruck aus Gleichung (28), so ergibt sich

$$\ddot{n} + \frac{\beta - \rho}{\Lambda} \dot{n} + \lambda \dot{n} - \frac{\lambda \rho}{\Lambda} n = 0. \quad (29)$$

Diese Gleichung lässt sich durch einen Exponentialansatz einfach lösen - wir setzen  $n(t) = n_0 \cdot e^{\omega \cdot t}$  und erhalten wegen  $\frac{d}{dt} e^{\omega \cdot t} = \omega \cdot e^{\omega \cdot t}$

$$\ddot{n} = \omega^2 \cdot n = \omega^2 \cdot n_0 \cdot e^{\omega \cdot t} \quad \text{und} \quad \dot{n} = \omega \cdot n = \omega \cdot n_0 \cdot e^{\omega \cdot t}. \quad (30)$$

Dies eingesetzt in Gleichung (29) ergibt

$$\omega^2 \cdot n_0 \cdot e^{\omega \cdot t} + \omega \left( \frac{\beta - \rho}{\Lambda} + \lambda \right) n_0 \cdot e^{\omega \cdot t} - \frac{\lambda \rho}{\Lambda} \cdot n_0 \cdot e^{\omega \cdot t} = 0. \quad (31)$$

Natürlich können die Faktoren  $n_0$  und  $e^{\omega \cdot t}$  aus dieser Gleichung weggekürzt werden. Somit erhalten wir die sogenannte Säkulargleichung für die *reziproken Reaktorperioden*

$$\omega^2 + \left( \frac{\beta - \rho}{\Lambda} + \lambda \right) \omega - \frac{\lambda \rho}{\Lambda} = 0. \quad (32)$$

Aus der quadratischen Gleichung (32) ergeben sich nämlich zwei mögliche Lösungen für  $\omega$ , nämlich

$$\omega_{1,2} = \frac{1}{2} \left( \frac{\rho - \beta}{\Lambda} - \lambda \right) \pm \frac{1}{2} \sqrt{\left( \frac{\rho - \beta}{\Lambda} - \lambda \right)^2 + 4 \frac{\lambda \rho}{\Lambda}}. \quad (33)$$

Folgende Eigenschaft dieses Ausdruck ist bemerkenswert, sofern die Reaktivität des Reaktors positiv ist - diesen Fall wollen wir in der Folge zuerst diskutieren. Der Wurzelterm ist nämlich betragsmässig grösser als der linke Klammerterm in Gleichung (33), da unter der Wurzel zum positiven Quadrat des Klammerterms auch noch eine positive Grösse  $4\lambda\rho/\Lambda$  hinzu addiert wird. Daher ist  $\omega_1$  (definiert mit dem Pluszeichen in der Lösungsformel) immer positiv, und  $\omega_2$  (") immer negativ. Die beiden Lösungskonstanten entsprechen also einer exponentiell ansteigenden und einer exponentiell abfallenden Komponente in der Neutronenzahl, die sich im Reaktor überlagern. Die exponentiell gedämpfte Lösung kann aber bei der Existenz einer positiven, sogenannten *stabilen Reaktorperiode* bald vernachlässigt werden, wenn also im überkritischen Reaktor die Neutronenzahl exponentiell zu wachsen beginnt. Offensichtlich ist  $\omega_2$  mit der prompten Zeitverzögerung eng verknüpft; sie wird auch als *transiente (reziproke) Reaktorperiode* bezeichnet.

Die allgemeinste Lösung der Gleichung (29) lautet also

$$n(t) = n_{ex} \cdot e^{\omega_1 \cdot t} + \tilde{n} \cdot e^{\omega_2 \cdot t} \quad (34)$$

wobei der  $e^{\omega_2 \cdot t}$ -Anteil exponentiell zerfällt. Dieser beschreibt das quasistationäre Einschwingen der Neutronenzahl auf die Vorläuferzahl im Rahmen der Eingruppennäherung.

Weiter ist im Bereich  $0 < \rho < 0.9 \cdot \beta$  (oder, ausgedrückt durch die *normierte Reaktivität*  $\rho_n = \rho/\beta$ , im Bereich  $0 < \rho_n < 0.9$ ) der betragsmässige Wert von  $\frac{\rho-\beta}{\Lambda}$  bedeutend grösser als  $\lambda$ . Man kann daher vereinfachen:

$$\frac{1}{2}\sqrt{\left(\frac{\rho-\beta}{\Lambda}-\lambda\right)^2+4\frac{\lambda\rho}{\Lambda}}\simeq\frac{1}{2}\left(\frac{\beta-\rho}{\Lambda}+\lambda\right)\sqrt{1+\frac{4\lambda\rho}{\Lambda}\frac{\Lambda^2}{(\beta-\rho)^2}}. \quad (35)$$

Da  $\frac{4\lambda\rho\Lambda}{(\beta-\rho)^2}$  viel kleiner als eins ist und  $\sqrt{1+x}\simeq 1+\frac{1}{2}x$  für kleine  $x$ , folgt schliesslich (wieder mit  $\lambda\ll(\beta-\rho)/\Lambda$ )

$$\frac{1}{2}\sqrt{\left(\frac{\rho-\beta}{\Lambda}-\lambda\right)^2+4\frac{\lambda\rho}{\Lambda}}\simeq\frac{1}{2}\left(\frac{\beta-\rho}{\Lambda}+\lambda\right)\left(1+\frac{2\lambda\rho\Lambda}{(\beta-\rho)^2}\right). \quad (36)$$

Somit ist  $\omega = \omega_1$  näherungsweise durch die Formel

$$\omega = \frac{1}{2}\left(\frac{\rho-\beta}{\Lambda}-\lambda\right)+\frac{1}{2}\left(\frac{\beta-\rho}{\Lambda}+\lambda\right)+\frac{\lambda\rho}{\beta-\rho} = \frac{\lambda\rho}{\beta-\rho} \quad (37)$$

gegeben.

Die stabile Reaktorperiode ist also im Rahmen der vereinfachten kinetischen Grundgleichungen näherungsweise gegeben durch

$$t_e = \frac{\beta-\rho}{\lambda\rho}, \quad (38)$$

die exakte Formel ist aber gemäss Gleichung (33)

$$\omega = \frac{1}{2}\left(\frac{\rho-\beta}{\Lambda}-\lambda\right)+\frac{1}{2}\sqrt{\left(\frac{\rho-\beta}{\Lambda}-\lambda\right)^2+4\frac{\lambda\rho}{\Lambda}}. \quad (39)$$

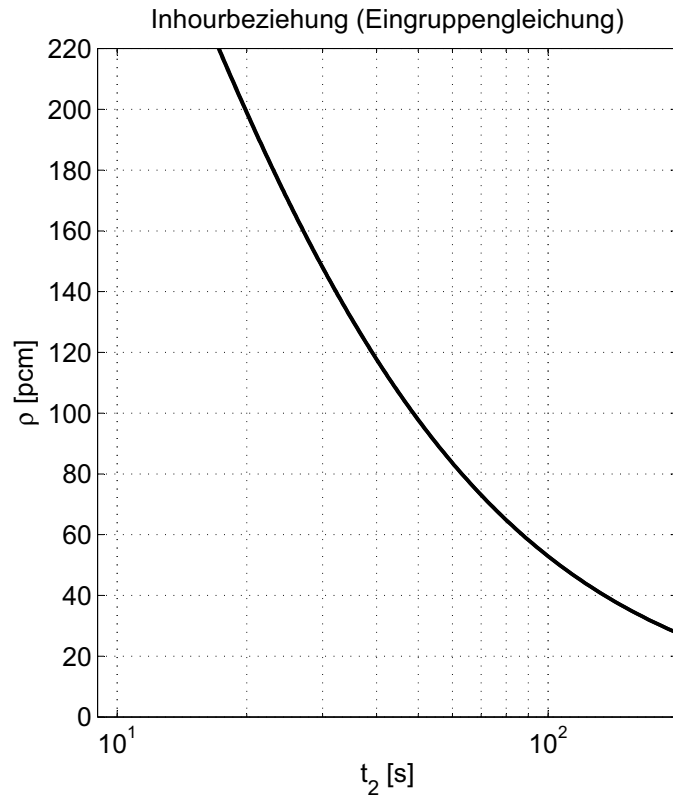
Die stabile Reaktorperiode wird gleichwertig zur *reziproken* stabilen Reaktorperiode  $\omega$

$$t_e = \frac{1}{\omega} \quad (40)$$

verwendet und beschreibt also die Zeit, in welcher sich die Neutronenzahl im eingeschwungenen anfahrenden Reaktor ver-e-facht, die *Verdopp(e)lungszeit*, d.h. die Zeit, nach der sich im eingeschwungenen Zustand die Neutronenzahl jeweils verdoppelt, ist entsprechend etwas kleiner

$$t_2 = \ln(2) \cdot t_e = \frac{\ln(2)}{\omega} \simeq 0.69 \cdot t_e. \quad (41)$$

Figur 1 stellt die Beziehung aus Gleichung (39) graphisch dar. Im angezeigten Bereich lassen sich die Unterschiede zwischen Gleichung (38) und (39) von Auge kaum ausmachen.



Figur 1: Verdoppelungszeit versus Reaktivität in der Eingruppennäherung.

### Inhourbeziehung

Betrachten wir die sogenannte *Inhourkurve* (Figur 2), welche den Zusammenhang zwischen Reaktivität und Verdoppelungszeit eines typischen Reaktors mit  $\beta = 0.64\%$  darstellt, so fällt primär eine gewisse Diskrepanz im Bereich kleinerer Verdoppelungszeiten gegenüber Figur 1 auf. Der Grund dafür liegt in der simplen Tatsache begründet, dass eine präzisere Berechnung der Verdoppelungszeit die Berücksichtigung aller 6 Vorläufergruppen mit ihren individuellen Zerfallskonstanten  $\lambda_i$  und Produktionsanteilen  $\beta_i$  voraussetzt.

Die vollen kinetischen Grundgleichungen

$$\dot{n} = \frac{\rho - \beta}{\Lambda} n + \sum_{i=1}^6 \lambda_i C_i, \quad (42)$$

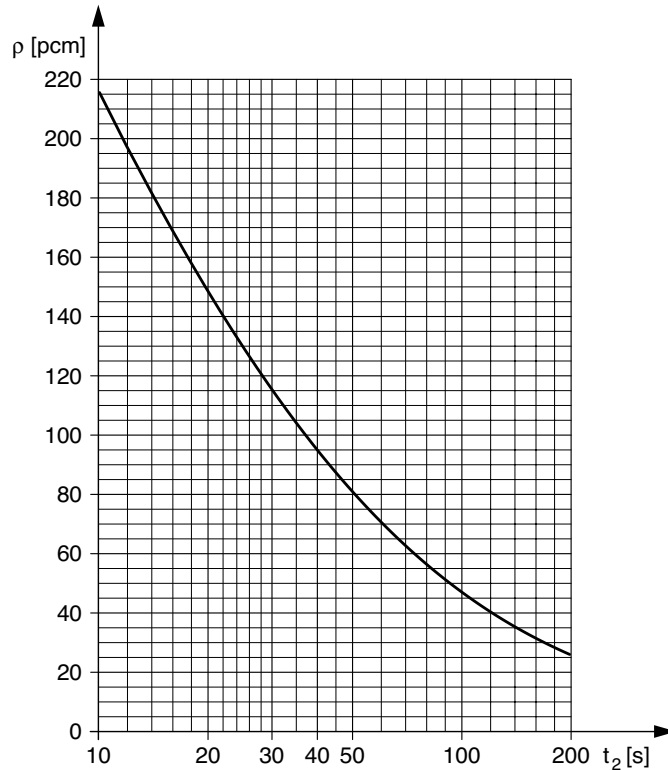
$$\dot{C}_i = \frac{\beta_i}{\Lambda} n - \lambda_i C_i, \quad \beta = \sum_{i=1}^6 \beta_i, \quad (43)$$

lassen sich tatsächlich durch einen Exponentialansatz lösen. Es stellt sich heraus, dass sich die Neutronenzahl als Summe von sieben verschiedenen Exponentialfunktionen

$$n(t) = n_{ex} \cdot e^{\omega_1 \cdot t} + \sum_{j=2}^7 \tilde{n}_j \cdot e^{\omega_j \cdot t} \quad (44)$$

schreiben lässt. Eine analoge Aussage gilt für die Vorläuferzahlen. Dabei folgt aus einer detaillierteren mathematischen Analyse, dass im Falle  $\rho > 0$

$$\omega = \omega_1 > 0 \quad \text{und} \quad \omega_j < 0 \quad \text{für} \quad j = 2, \dots, 7. \quad (45)$$



Figur 2: Die Inhourkurve.

Für  $\rho < 0$  sind alle  $\omega_j$  negativ, im unterkritischen Reaktor zerfällt jede Störung der Neutronenzahl, und so strebt diese jeweils gegen den durch die Neutronenquellen vorgegebenen Gleichgewichtswert gemäss Gleichung (9). Für  $\rho > 0$  existiert aber eine stabile Reaktorperiode  $\omega$ , welche in der Inhourkurve (Figur 2) abgelesen werden kann. Die restlichen Exponentialfunktionen fallen zeitlich stark ab und beschreiben den Einschwingvorgang, der einem stabilen exponentiellen Anstieg der Neutronenzahl zeitlich vorangeht. Nach dem Einschwingvorgang wird die Entwicklung der Neutronenzahl faktisch nur noch durch den Term

$$n(t) = n_{ex} \cdot e^{\omega \cdot t} \quad (46)$$

beschrieben. Offensichtlich ist  $n(0) = n_{ex} + \sum_{j=2}^7 \tilde{n}_j$  die Startzahl der Neutronen, wobei natürlich bei unseren Betrachtungen immer  $\rho = \text{konst.}$  für  $t \geq 0$  gilt. In einem Leistungsreaktor ist es typischerweise so, dass eine Reaktivitätserhöhung aus dem kritischen Zustand  $\rho = 0$  zu  $\rho > 0$  eine Erhitzung des Brennstoffs (und des Kühlmittels oder Moderators) bewirkt, welche die Reaktivität des Reaktors wieder reduziert. Durch diese stabilisierende Rückkopplung geht der Reaktor bei erhöhter Leistung letztlich wieder in den kritischen Zustand über.

Die Zeitkonstante  $\omega_2$  im Eingruppenmodell kann wegen  $\lambda \ll (\beta - \rho)/\Lambda$  in Gleichung (33) durch

$$\omega_2 \simeq -\frac{\beta - \rho}{\Lambda} \quad (47)$$

angenähert werden. Es handelt sich bei  $\omega_2$  (bis auf ein Vorzeichen) nämlich um die prompte Zeitkonstante  $\omega_{pr}$ . Sie repräsentiert im Wesentlichen die zusätzlichen 6 Zeitkonstanten  $\omega_2, \dots, \omega_7$  des vollen Modells mit 6 Vorläufergruppen. Diese Vereinfachung wird in gewissen Fällen einer realistischen Beschreibung nicht mehr gerecht.

Man kann zeigen, dass die Reaktivität des Reaktors mit jeder Zeitkonstanten  $\omega_j$  für  $j = 1, \dots, 7$  die exakte mathematische Beziehung (*Inhour-Beziehung*, siehe Anhang)

$$\rho = \omega_j \cdot \left( \Lambda + \sum_{i=1}^6 \frac{\beta_i}{\omega_j + \lambda_i} \right) \quad (48)$$

erfüllt. Kann in dieser Gleichung  $\Lambda$  vernachlässigt werden, so erhalten wir für die Eingruppeneleichungen

$$\rho = \omega \frac{\beta}{\omega + \lambda} \quad \rightarrow \quad \omega = \frac{\rho}{\beta - \rho} \lambda, \quad (49)$$

das heisst, wir gelangen wieder zu Gleichung (38), wobei die negative reziproke Periode in der gemachten Näherung unter den Tisch fällt.

Die Inhour-Beziehung lässt eine unmittelbare Berechnung der Reaktivität aus der Reaktorperiode zu. Die Umkehrung dieses Vorgangs ist allerdings nur numerisch möglich.

Die stabile Reaktorperiode ist also näherungsweise durch

$$t_e = \frac{\beta - \rho}{\rho} \cdot \frac{1}{\lambda} = \frac{\beta - \rho}{\rho} \cdot l \quad (50)$$

gegeben, und die Verdoppelungszeit folgt aus der Halbwertszeit  $t_{1/2} = \ln(2) \cdot l \simeq 8.97s$  der Vorläufer

$$t_2 = \frac{\beta - \rho}{\rho} \cdot t_{1/2} \quad \leftrightarrow \quad \rho = \beta \cdot \frac{t_{1/2}}{t_2 + t_{1/2}} \quad (51)$$

Misst man somit die stabile Neutronenzunahme in einem Reaktor durch Messung eines Neutronenflusses  $\sim \Phi \propto n$ , so lässt sich also mit Hilfe von Formel (51) sofort die Reaktivität näherungsweise berechnen. Genauere Aussagen gewinnt man aus der Inhourkurve, welche alle Vorläufer berücksichtigt.

Beispiel: Für eine Reaktivität von 80pcm ergibt sich

$$t_2 = \frac{0.0064 - 0.0008}{0.0008} \cdot 9s = 63s, \quad (52)$$

in passabler Übereinstimmung mit  $t_2 = 50s$  in der Inhourkurve.

Der Ausdruck *Inhour* geht nicht auf einen Forscher gleichen Namens zurück, sondern beruht historisch und vereinfacht gesagt auf der Tatsache, dass bei frühen Reaktorexperimenten ( $\rightarrow$  Chicago Pile 1, kurz CP-1, der erste von Menschenhand gebaute Kernreaktor) der Neutronenzuwachs *pro Stunde*, also in Beziehung zu *inverse*

hours, betrachtet wurde. Entsprechend wird zur Beschreibung der Reaktivität eines Reaktors auch die Einheit *InHour* verwendet. Dabei beschreibt 1ih oder 1inhr diejenige Reaktivität eines Reaktors, bei welcher sich die Neutronenzahl innerhalb einer Stunde ver-e-facht (etwa 2.3pcm).

Da sich die Neutronenzahl im Bereich  $0 \leq \rho < \beta$  in zeitlich in kontrollierbarer Weise vergrößert, nennt man den entsprechenden Reaktivitätsbereich *verzögert überkritisch*. Es ist also der Existenz der Vorläufer zu verdanken, dass sich die Leistung eines Reaktors zeitlich im Minutenbereich regeln lässt, sofern in einem sicheren Reaktivitätsbereich unterhalb von  $\sim 200\text{pcm}$  operiert wird.

## Allgemeine Diskussion der Lösungen der kinetischen Grundgleichungen

### Reaktivität als Ordnungsparameter

In der Folge sollen nach der eingehenden Diskussion des überkritischen Reaktors nun auch noch die weiteren durch die Reaktivität charakterisierbaren Reaktorzustände diskutiert werden. Ein Reaktor mit negativer Reaktivität  $\rho < 0$  heisst also *unterkritisch*, bei  $\rho = 0$  ist er *kritisch*; gilt  $\rho > 0$ , so ist der Reaktor *überkritisch*. Bei überkritischen Reaktoren unterscheidet man den kontrollierbaren Fall des Reaktors im Anfahrbereich mit  $0 < \rho < \beta$ , welcher auch als *verzögert überkritisch* bezeichnet wird. Der prompt kritische ( $\rho = \beta$ ) oder prompt überkritische Zustand ( $\rho > \beta$ ) muss auf jeden Fall vermieden werden. Eine Ausnahme bilden hier allerdings die sogenannten TRIGA-Forschungsreaktoren (*Training, Research, Isotopes, General Atomic*), welche in kontrollierter Weise für einige Millisekunden in den prompt überkritischen Zustand gebracht werden können.

### Quellbereich ( $\rho < 0$ )

Im unterkritischen Bereich sind die beiden inversen Reaktorperioden

$$\omega_{1,2} = \frac{1}{2} \left( \frac{\rho - \beta}{\Lambda} - \lambda \right) \pm \frac{1}{2} \sqrt{\left( \frac{\rho - \beta}{\Lambda} - \lambda \right)^2 + 4 \frac{\lambda \rho}{\Lambda}} \quad (53)$$

negativ. Ohne Neutronenquelle würde also die Neutronenzahl in einem Reaktor gegen Null zerfallen. Berücksichtigt man eine potenziell vorhandene Neutronenquelle, so kann aus der allgemeinsten Lösung der vereinfachten kinetischen Grundgleichungen *ohne* Quelle

$$n(t) = n_1 \cdot e^{\omega_1 \cdot t} + n_2 \cdot e^{\omega_2 \cdot t} \quad (54)$$

sofort eine Lösung des Gleichungssystems

$$\dot{n} = \frac{\rho - \beta}{\Lambda} n + \lambda C + Q_{th} , \quad (55)$$

$$\dot{C} = \frac{\beta}{\Lambda} n - \lambda C \quad (56)$$

angegeben werden:

$$n(t) = -\frac{\Lambda \cdot Q_{th}}{\rho} + n_1 \cdot e^{\omega_1 \cdot t} + n_2 \cdot e^{\omega_2 \cdot t} , \quad (57)$$

$$C(t) = -\frac{\beta}{\lambda \rho} \cdot Q_{th} + \left( \frac{\omega_1}{\lambda} + \frac{\beta - \rho}{\lambda \Lambda} \right) \cdot n_1 \cdot e^{\omega_1 \cdot t} + \left( \frac{\omega_2}{\lambda} + \frac{\beta - \rho}{\lambda \Lambda} \right) \cdot n_2 \cdot e^{\omega_2 \cdot t} . \quad (58)$$

Für grosse Zeiten strebt diese Lösung den stationären Werten

$$n_{stat} = -\frac{\Lambda \cdot Q_{th}}{\rho}, \quad C_{stat} = -\frac{\beta}{\lambda\rho} \cdot Q_{th} = \frac{\beta}{\lambda\Lambda} n_{stat} \quad (59)$$

zu, welche sich sofort aus den stationären, zeitunabhängigen Bilanzgleichungen

$$\dot{n} = 0 = \frac{\rho - \beta}{\Lambda} n + \lambda C + Q_{th}, \quad \dot{C} = 0 = \frac{\beta}{\Lambda} n - \lambda C \quad (60)$$

ergeben. Offensichtlich ist die stationäre Neutronenzahl und die Vorläuferzahl im Reaktor proportional zu  $-\frac{1}{\rho}$ . Entsprechend dauert es bei Reaktivitätsänderungen im unterkritischen Reaktor umso länger, bis sich der Reaktor wieder auf einen stationären Zustand eingeschwungen hat, je näher man sich an der kritischen Schwelle  $\rho = 0$  befindet. Wird die negative Reaktivität schrittweise zu betragsmässig kleineren Werten reduziert, so stellt sich nach einer Einschwingzeit eine schrittweise zunehmend grösser werdende stationäre Neutronen- und Vorläuferzahl ein. Der Aufbau dieser zunehmend grösser werdenden Zahlen dauert dabei zunehmend länger, da die eigentliche Kettenreaktion im unterkritischen Reaktor immer defizitär ist - das gekoppelte System der Neutronen und Vorläufer wird letztlich aus der Reaktorquelle erzeugt, die mit konstanter Rate Neutronen nachliefert. Bildet man nämlich die Summe der Gleichungen (55) und (56), so ergibt sich

$$\dot{n} + \dot{C} = \frac{\rho}{\Lambda} n + Q_{th}. \quad (61)$$

Der Term  $\frac{\rho}{\Lambda} n$  ist aber negativ, da  $\rho$  negativ ist. Die Gesamtzahl  $\dot{n} + \dot{C}$  der Neutronen und Vorläufer zusammen, die für schwindendes  $\rho$  immer grössere Werte annimmt, kann nur dank des Quellterms  $Q_{th}$  in Gleichung (120) wachsen.

Bei einer Reaktivitätsänderung im Bereich betragsmässig kleiner Reaktivitäten ergibt sich die Einschwingzeit  $t_{es}$  eines Reaktors im Wesentlichen aus dem am langsamsten zerfallenden Exponentialterm in Gleichung (57) (siehe auch Gleichung (37)) mit reziproker Periode

$$0 > \omega_1 = \frac{1}{2} \left( \frac{\rho - \beta}{\Lambda} - \lambda \right) + \frac{1}{2} \sqrt{\left( \frac{\rho - \beta}{\Lambda} - \lambda \right)^2 + 4 \frac{\lambda\rho}{\Lambda}} \simeq \frac{\lambda\rho}{\beta - \rho} \simeq \frac{\lambda\rho}{\beta} \quad (0 < -\rho \ll \beta) \quad (62)$$

zu

$$t_{es} = -\frac{1}{\omega_1} \simeq \frac{\beta}{\lambda|\rho|}. \quad (63)$$

Für  $\beta = 0.0064 = 640\text{pcm}$  und  $1/\lambda = 12.9\text{s}$  ergibt sich daraus  $t_{es} \simeq \frac{137\text{min}}{|\rho| \text{ in pcm}}$ . Der tatsächliche Einschwingvorgang dauert natürlich (5-10mal) länger als  $t_{es}$ , da die Eingruppungleichung den Einfluss der langlebigen Vorläufer unterschätzt und da  $t_{es}$  im Wesentlichen die Zeit für eine Reduktion der Abweichung des Neutronen-Vorläufer-Systems vom Gleichgewichtszustand auf einen e-tel beschreibt.

Wird die Reaktivitätsänderung schnell (prompt) durchgeführt, so vollzieht die Neutronenzahl zuerst einen sogenannten prompten Sprung, bei welchem ein quasistationäres Gleichgewicht zwischen Neutronen und Vorläufer herbeigeführt wird. Dieser Vorgang wird mit der betragsmässig grösseren Zeitkonstante  $\omega_2$  zeitlich beschrieben. Bei kleinen Reaktivitätsänderung ist der prompte Sprung weniger ausgeprägt. Quantitative Betrachtungen zum prompten Sprung finden sich im Abschnitt *Schnelle Reaktivitätsänderungen*.

### Kritischer Reaktor: $\rho = 0$

Im kritischen Reaktor vereinfachen sich die kinetischen Grundgleichungen mit  $\rho = 0$  zu

$$\dot{n} = -\frac{\beta}{\Lambda}n + \lambda C + Q_{th}, \quad \dot{C} = \frac{\beta}{\Lambda}n - \lambda C, \quad (64)$$

und bildet man die Summe dieser beiden Gleichungen, so folgt

$$\dot{C} + \dot{n} = Q_{th}, \quad (65)$$

also

$$C + n = N_0 + Q_{th} \cdot t. \quad (66)$$

Da die Gesamtzahl von Vorläufern und Neutronen offensichtlich linear mit der Zeit ansteigt, da die Kettenreaktion eigentlich selbsterhaltend ist, die Neutronenquelle aber immer mehr Neutronen in den Reaktor einspeist, liegt es nahe, sowohl für die Anzahl der Vorläufer sowie für die Anzahl der Neutronen einen zeitlich linear ansteigenden Verlauf anzusetzen:

$$n(t) = n_0 + Q_1 \cdot t, \quad C(t) = C_0 + Q_2 \cdot t, \quad Q_1 + Q_2 = Q_{th}. \quad (67)$$

Eingesetzt in die Neutronenbilanzgleichung (64) liefert der Ansatz

$$Q_1 = -\frac{\beta}{\Lambda}n_0 - \frac{\beta}{\Lambda}Q_1 \cdot t + \lambda C_0 + \lambda Q_2 \cdot t + Q_{th}. \quad (68)$$

Die in  $t$  linearen Terme müssen sich offensichtlich aufheben, also gilt

$$\frac{\beta}{\Lambda}Q_1 = \lambda Q_2 \quad \rightarrow \quad Q_2 = \frac{\beta}{\lambda\Lambda}Q_1 = Q_{th} - Q_1, \quad (69)$$

$$Q_1 = \frac{Q_{th}}{1 + \frac{\beta}{\lambda\Lambda}}, \quad Q_2 = \frac{Q_{th}}{1 + \frac{\lambda\Lambda}{\beta}}. \quad (70)$$

In einem kritischen Reaktor *mit* Quelle nimmt die Neutronenzahl nach dem Einschwingen linear zu, und zwar in einem Zahlenverhältnis zu den Vorläufern, welches bereits vom stationären, unterkritischen Fall her bekannt ist. Die Anfangswerte  $n_0$  und  $C_0$  können geeignet gewählt werden, sodass die kinetischen Grundgleichungen erfüllt werden.

Man beachte, dass sich zur linearen Lösung der kinetischen Grundgleichungen eine exponentiell zerfallende Lösung  $\sim e^{-\omega_{krit}t}$  mit inverser Periode  $\omega_{krit} = \beta/\Lambda + \lambda \approx \beta/\Lambda$  hinzuaddieren lässt. Der Wert dieser Frequenz folgt wiederum aus Gleichung (33) (mit entsprechendem Minuszeichen) und ist auch für den sogenannten inhomogenen Fall der kinetischen Grundgleichungen mit Neutronenquelle gültig. Der zerfallende Lösungsanteil beschreibt den prompten Einschwingvorgang der Neutronen unmittelbar nachdem der Reaktor kritisch wurde.

### Prompt kritischer Reaktor ( $\rho = \beta$ )

Die inversen Reaktorperioden lassen sich durch

$$\omega_{1,2} = -\frac{\lambda}{2} \pm \sqrt{\frac{\lambda^2}{4} + \frac{\lambda\beta}{\Lambda}} \simeq \pm \sqrt{\frac{\lambda\beta}{\Lambda}} \quad (71)$$

approximieren. Die positive Reaktorperiode beschreibt einen starken Anstieg der Neutronenzahl auf der prompt kritischen Zeitskala  $t_{pk} = \sqrt{\frac{\Lambda}{\lambda\beta}} \simeq 0.2\text{s}$ . Da auf dieser kurzen Zeitskala die Rolle der langlebigen Vorläufer durch die mittlere Zerfallskonstante  $\lambda \simeq 0.1\text{s}^{-1}$  übergewichtet wird, muss  $t_{pk}$  mit einer effektiven Zerfallskonstanten  $\bar{\lambda} \simeq 0.407\text{s}^{-1}$  berechnet werden.

### Prompt überkritischer Reaktor ( $\rho > \beta$ )

Im prompt überkritischen Reaktor kann der Einfluss der Vorläufer eigentlich vernachlässigt werden, da die prompten Neutronen allein sich äusserst schnell vervielfachen. Ist  $\rho$  hinreichend gross, sodass gilt

$$\frac{\rho_p}{\Lambda} = \frac{\rho - \beta}{\Lambda} \gg \lambda, \quad (72)$$

so ist

$$\omega_1 \simeq \frac{1}{2} \frac{\rho_p}{\Lambda} + \frac{1}{2} \sqrt{\frac{\rho_p^2}{\Lambda^2}} = \frac{\rho_p}{\Lambda}. \quad (73)$$

Bereits für  $\rho = 2\beta$  oder  $\rho_p = \beta$  ist  $1/\omega_1 \simeq 0.016\text{s}$ , d.h. in dieser Zeit ver-e-facht sich die Neutronenzahl im Reaktor. Dieses Resultat ergibt sich auch aus der Neutronenbilanzgleichung (19), wenn der Vorläuferterm  $\lambda C$  vernachlässigt wird:

$$\dot{n} = \frac{\rho_p}{\Lambda} n \quad \rightarrow \quad n(t) = n_0 \cdot e^{\frac{\rho_p}{\Lambda} \cdot t} \quad (74)$$

Natürlich ist der prompt (über)kritische Zustand eines Reaktors in jedem Falle zu vermeiden, da die entsprechende Leistungsexkursion zur Kernschmelze führen kann. Auf der obigen sehr kurzen Zeitskala ist es allerdings nicht unbedingt statthaft, von einer Gesamtreaktivität (*lumped reactivity*) des Reaktors zu sprechen (siehe Abschnitt *Diffusion*). Zudem sind moderne Reaktoren so ausgelegt, dass Rückkopplungseffekte bei einem Reaktivitätsanstieg die Reaktivität rechtzeitig zu binden vermögen, sodass Schlimmeres verhindert wird. Dieses inhärent sichere Verhalten war in den RBMK-1000-Reaktoren ( $\rightarrow$  *Tschernobyl*) nicht richtig implementiert. In modernen Leistungsreaktoren stellt vielmehr die Abführung des Nachzerfallswärme, welche durch radioaktive Zerfälle von Produkten des Reaktorbetriebs auch nach Unterbrechung der Kettenreaktion entsteht, ein potentiell Sicherheitsproblem dar ( $\rightarrow$  *Fukushima*).

### Schnelle Reaktivitätsänderungen

Bei einer schnellen Reaktivitätsänderung ( $\rho_0 = 0$  für  $t < 0 \rightarrow \rho_1 = \rho$  für  $t > 0$ ) in einem kritischen Reaktor (zum Beispiel durch Stabeinwurf) wird die Neutronenzahl  $n_0$  für  $t < 0$  abrupt zu  $n_1$  für  $t > 0$  verändert, während das träge Reservoir der Vorläufer von der Reaktivitätsänderung vorerst wenig beeinflusst wird. Innerhalb kürzester Zeit stellt sich wieder ein quasistationäres Gleichgewicht zwischen den Neutronen und den Vorläufern ein, und es gilt in guter Näherung wie im stationären Zustand

$$\frac{\beta - \rho_0}{\Lambda} n_0 = \frac{\beta}{\Lambda} n_0 = \lambda C = \frac{\beta - \rho_1}{\Lambda} n_1 = \frac{\beta - \rho}{\Lambda} n_1, \quad (75)$$

also ist in guter Näherung

$$n_1 = \frac{\beta}{\beta - \rho} n_0. \quad (76)$$

Suggestiver kann man für den prompten Sprung mit den prompten Reaktivitäten auch schreiben ( $\rho_p = \rho - \beta$ )

$$\rho_{p,0} \cdot n_0 = \rho_{p,1} \cdot n_1. \quad (77)$$

In Rahmen der Eingruppennäherung wird der zeitliche Verlauf der Neutronenzahl durch ( $\rho_0 = 0$ )

$$n(t) = n_0 \left[ \frac{\beta}{\beta - \rho} e^{\frac{\lambda_p}{\beta - \rho} t} - \frac{\rho}{\beta - \rho} e^{-\frac{\beta - \rho}{\Lambda} t} \right] \quad (78)$$

beschrieben. Es gilt  $n(t = 0) = n_0$ . Da der zweite Exponentialterm sehr schnell zerfällt - die Zeitkonstante  $\frac{\Lambda}{\beta - \rho}$  (die prompte Zeitverzögerung) ist im verzögert kritischen Bereich von der Grössenordnung von Bruchteilen einer Sekunde - schwingt sich die Neutronenzahl sehr schnell auf

$$n(t) \simeq n_0 \frac{\beta}{\beta - \rho} e^{\frac{\lambda \rho}{\beta - \rho} t}. \quad (79)$$

ein. Der erste Exponentialterm beschreibt das Zerfallen oder das kontrollierte Anwachsen der Neutronenzahl im verzögert kritischen Reaktor mit stabiler Reaktorperiode. Allerdings stellt sich bei realistischer Berücksichtigung aller Vorläufer die stabile Reaktorperiode erst nach einem Einschwingvorgang ein, dessen Zeitskala auch mit den verschiedenen Lebensdauern der Vorläufer verknüpft ist.

Bestimmt man in einem anfänglich kritischen Reaktor durch Neutronenflussmessungen die relative Abnahme der Neutronenpopulation bei einer prompten Reaktivitätsänderung, so kann über Gleichung (76) auf die tatsächlich erfolgte Reaktivitätsänderung geschlossen werden. Dies ermöglicht die Eichung von Steuerstäben als reaktivitätssteuernde Elemente.

### Reaktorschnellabschaltung

Befindet sich ein Reaktor vor einer Schnellabschaltung im kritischen stationären Zustand, so lässt sich die Anzahl der Vorläufer in der  $i$ -ten Vorläufergruppe mit Hilfe der Vorläuferbilanzgleichung (20) sofort angeben:

$$\dot{C}_i = 0 \quad \rightarrow \quad C_i = \frac{\beta_i}{\lambda_i \cdot \Lambda} n. \quad (80)$$

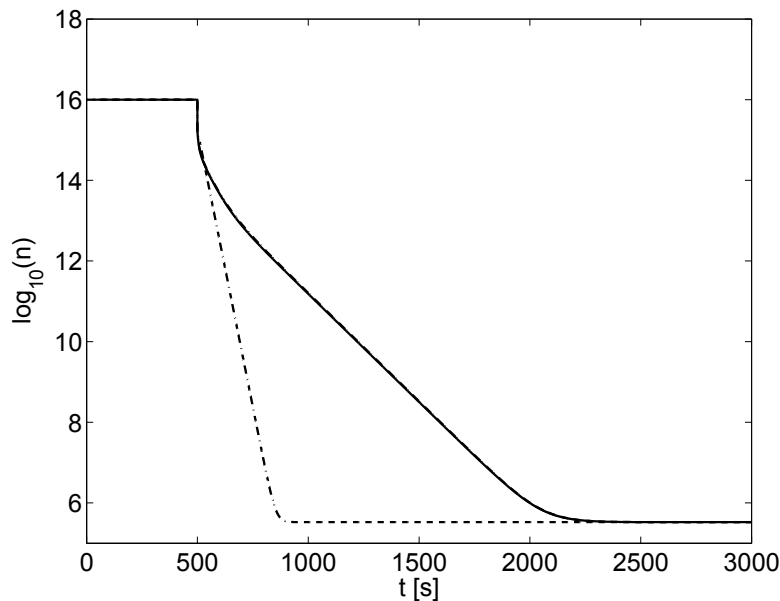
Durch die starke Reaktivitätserniedrigung auf  $\rho \ll 0$  fällt die ursprünglich vorhandene Neutronenzahl  $n_0$  prompt auf den mit den Vorläufern im quasistationären Gleichgewicht befindlichen Wert

$$n_1 = \frac{\beta}{\beta - \rho} n_0. \quad (81)$$

Anschliessend zerfallen die Vorläufer mit verschiedenen Zerfallskonstanten und setzen noch Neutronen frei. Deren Anzahl berechnet sich zu ( $n(0) = n_1$ )

$$n(t) = \frac{\beta}{\beta - \rho} n_0 \sum_{i=0}^6 \frac{\beta_i}{\beta} e^{-\lambda_i t}. \quad (82)$$

In der obigen Formel wird der geringe Effekt der erneuten Vorläufererzeugung durch die Freisetzung von Neutronen und nachfolgender Kernspaltung durch die noch vorhandenen Vorläufer vernachlässigt. In guter Analogie mit der obigen Näherung würde man in Gleichung (44) entsprechend  $\omega_j = -\lambda_{7-j}$  setzen, wobei  $\omega_7 \simeq -(\beta - \rho)/\Lambda$  in Gleichung (82) fehlt und die Zeitskala für den durch Gleichung (81) vorweggenommenen prompten Sprung beschreibt.



Figur 3: Idealierte schnelle Reaktorschnellabschaltung bei  $t=500$ s.

Der langlebigste Vorläufer ist  $^{87}\text{Br}$ . Nachdem die kurzlebigeren Vorläufer zerfallen sind, dominiert  $^{87}\text{Br}$  die obige Summe und nach etwa einer Minute gilt (mit  $b_6$  für  $^{235}\text{U}$ )

$$n(t) \simeq \frac{\rho}{\rho - \beta} n_0 \cdot b_6 \cdot e^{-\lambda_6 \cdot t} \quad \text{mit} \quad b_6 = \beta_6 / \beta = 0.032, \quad \lambda_6 = 1 / (80.387\text{s}). \quad (83)$$

Dieser anfänglich exponentielle Zerfall der Neutronenzahl stabilisiert sich schliesslich nach einigen Minuten bei dem endlichen Wert, der durch die Quellstärke der Reaktors vorgegeben wird.

Figur 3 zeigt den numerisch berechneten Verlauf der Neutronenzahl nach einer schnellen Reaktivitätsverminderung um 3000pcm aus dem kritischen Zustand. Dabei berücksichtigt die ausgezogene Linie die vollständigen kinetischen Punktgleichungen mit sechs Vorläufergruppen. Die Reaktivitätserniedrigung  $0\text{pcm} \rightarrow -3\%$  induziert die prompte Reduktion der Neutronenzahl, gefolgt vom neutronenfreisetzenden Zerfall der Vorläufer. Wenige Minuten nach der Abschaltung trägt nur noch der  $^{87}\text{Br}$ -Zerfall merklich zur Neutronenzahl bei, schliesslich schwingt diese im Quellbereich auf einen konstanten Wert ein. Die verwendeten Parameter betragen  $Q_{th} = 10^8\text{s}^{-1}$ ,  $\Lambda = 10^{-4}\text{s}$ ,  $\beta = 0.0064$  und  $n_0 = 10^{16}$ , die Vorläufergruppenparameter nach Keepin [3] finden sich im Anhang. Die gestrichelte Linie zeigt das Resultat im Rahmen der Eingruppennäherung, welche lediglich zwei Reaktorperioden beziehungsweise eine mittlere Vorläuferzerfallskonstante berücksichtigt.

## Prinzip des Reaktivitätsmeters

Durch stetige Überwachung des Neutronenflusses in einem Reaktor ist es prinzipiell möglich, aus dem zeitlichen Verlauf des Flusses, welcher im Rahmen der Punktmodells proportional zur Neutronenzahl ist, die aktuelle Reaktivität des Reaktors zu berechnen.

Die in der Folge als Beispiel diskutierte sogenannte Methode der inversen Reaktorkinetik, deren mathematischen Grundlagen unten dargestellt sind, lässt unter anderem die Bestimmung der Charakteristik eines Feinregelstabes in einer einzigen Messung durch Einfahren des Steuerstabes mit konstanter Geschwindigkeit in den

Reaktor zu. Zwingende Voraussetzung dazu ist natürlich das Vorhandensein eines hinreichend starken Neutronensignals. Zur Messung sehr grosser Reaktivitätsstörungen eignet sich die Methode letztlich nicht mehr, da die im Punktmodell gemachten Näherungen dann unzulässig werden. Immerhin kann die inverse Reaktorkinetik zum Aufsuchen eines guten Detektorplatzes verwendet werden: An einem guten Ort wird die gemessene Reaktivität nach einem Reaktivitätssprung konstant verlaufen. Je schlechter die Messposition, desto stärkere Zeitabhängigkeit (Schwingungen, sogenannte 'Harmonische') zeigt der aus den Messungen berechnete Reaktivitätsverlauf nach einem abgeschlossenen Reaktivitätssprung.

Ausgehend von den punktkinetischen Grundgleichungen für die (gewichteten) Neutronen- und Vorläuferzahlen

$$\frac{dn}{dt} = \frac{\rho - \beta}{\Lambda} n(t) + \sum_{i=1}^6 \lambda_i C_i(t), \quad (84)$$

$$\frac{dC_i}{dt} = \frac{\beta_i}{\Lambda} n(t) - \lambda_i C_i(t), \quad (85)$$

können der Anteil  $\beta$  verzögerter Neutronen und die Generationszeit  $\Lambda$  dazu verwendet werden, diese Gleichungen zu reskalieren, und misst man also die (normierte) Reaktivität  $\rho$  in \$, also in Einheiten von  $\beta$ , durch die Definition  $\rho_n = \rho^* = \rho/\beta$  und  $\Lambda^* = \Lambda/\beta$ , so folgt

$$\frac{dn}{dt} = \frac{\rho^* - 1}{\Lambda^*} n(t) + \sum_{i=1}^6 \lambda_i C_i(t), \quad (86)$$

$$\frac{dC_i}{dt} = \frac{b_i}{\Lambda^*} n(t) - \lambda_i C_i(t), \quad b_i = \frac{\beta_i}{\beta}, \quad (87)$$

und aus Gleichung (86) erhält man

$$\rho^* = 1 + \frac{\Lambda^*}{n(t)} \left\{ \frac{dn}{dt} - \sum_{i=1}^6 \lambda_i C_i(t) \right\}. \quad (88)$$

Zur Zeit  $t = 0$  gilt im stationären Reaktor

$$\left. \frac{dC_i}{dt} \right|_{t=0} = 0 \rightarrow C_i(0) = \frac{b_i}{\lambda_i \Lambda^*} n(0), \quad (89)$$

und durch Integration der inhomogenen linearen Differenzialgleichung (87) ergibt sich sofort

$$C_i(t) = C_i(0)e^{-\lambda_i t} + \frac{b_i}{\Lambda^*} \int_0^t e^{-\lambda_i(t-t')} n(t') dt'. \quad (90)$$

Um nun die Gleichungen (86) und (87) zu diskretisieren, berechnet man

$$\begin{aligned} C_i(t + \Delta t) &= \frac{b_i}{\Lambda^*} \int_0^{t+\Delta t} e^{-\lambda_i(t+\Delta t-t')} n(t') dt' + C_i(0) e^{-\lambda_i(t+\Delta t)} \\ &= \frac{b_i}{\Lambda^*} e^{-\lambda_i \Delta t} \int_0^t e^{-\lambda_i(t-t')} n(t') dt' + \frac{b_i}{\Lambda^*} e^{-\lambda_i \Delta t} \int_t^{t+\Delta t} e^{-\lambda_i(t-t')} n(t') dt' + C_i(0) e^{-\lambda_i t} e^{-\lambda_i \Delta t} \end{aligned}$$

$$= C(t)e^{-\lambda_i \Delta t} + \delta C_i(t, \Delta t), \quad (91)$$

wobei

$$\delta C_i(t, \Delta t) = \frac{b_i}{\Lambda^*} e^{-\lambda_i \Delta t} \int_t^{t+\Delta t} e^{-\lambda_i(t-t')} n(t') dt' \quad (92)$$

durch die Annahme approximiert werden soll, dass die Neutronenzahl (gemessen) zur Zeit  $t$  und  $t + \Delta t$  linear interpoliert werden kann durch

$$n(t') = n(t) + \frac{t' - t}{\Delta t} (n(t + \Delta t) - n(t)), \quad t' \in [t, t + \Delta t]. \quad (93)$$

Damit ergibt sich

$$\delta C_i(t, \Delta t) = \frac{b_i}{\Lambda^*} e^{-\lambda_i \Delta t} \int_t^{t+\Delta t} e^{-\lambda_i(t-t')} \left[ n(t) + \frac{t' - t}{\Delta t} (n(t + \Delta t) - n(t)) \right] dt'. \quad (94)$$

Diskretisiert man nun die Zeitvariable gemäss  $t^k = k\Delta t$ ,  $k \in \mathbb{N}_0$  and setzt  $n^k = n(t^k)$ ,  $C_i^k = C_i(t^k)$ , so kann Gleichung (94) in der Form ( $\tilde{t} = t' - t$ )

$$\begin{aligned} \delta C_i(t^{k-1}, \Delta t) &= \frac{b_i}{\Lambda^*} e^{-\lambda_i \Delta t} \int_0^{\Delta t} e^{\lambda_i \tilde{t}} \left[ n^{k-1} + \frac{\tilde{t}}{\Delta t} (n^k - n^{k-1}) \right] d\tilde{t} \\ &= \frac{b_i}{\Lambda^* \lambda_i} \left\{ \left( n^{k-1} - \frac{n^k - n^{k-1}}{\lambda_i \Delta t} \right) (1 - e^{-\lambda_i \Delta t}) + n^k - n^{k-1} \right\} \\ &= \frac{b_i}{\Lambda^* \lambda_i^2 \Delta t} \left( (n^k - n^{k-1})(e^{-\lambda_i \Delta t} - 1) + (n^k - n^{k-1} e^{-\lambda_i \Delta t}) \lambda_i \Delta t \right) \end{aligned} \quad (95)$$

geschrieben werden, wobei die Integrationsformeln

$$\int \tilde{t} e^{\lambda \tilde{t}} d\tilde{t} = \frac{1}{\lambda^2} (\lambda \tilde{t} - 1) e^{\lambda \tilde{t}} + konst., \quad \int_0^{\Delta t} \tilde{t} e^{\lambda \tilde{t}} d\tilde{t} = \frac{1}{\lambda^2} (\lambda \Delta t e^{\lambda \Delta t} - e^{\lambda \Delta t} + 1) \quad (96)$$

und

$$\int_0^{\Delta t} e^{\lambda \tilde{t}} d\tilde{t} = \frac{1}{\lambda} (e^{\lambda \Delta t} - 1) \quad (97)$$

verwendet wurden. Damit lässt sich die Rekursionsgleichung zur Berechnung des Anteils verzögerter Neutronen angeben

$$C_i^k = C_i^{k-1} e^{-\lambda_i \Delta t} + \frac{b_i}{\Lambda^* \lambda_i} \left\{ \left( n^{k-1} - \frac{n^k - n^{k-1}}{\lambda_i \Delta t} \right) (1 - e^{-\lambda_i \Delta t}) + n^k - n^{k-1} \right\}, \quad (98)$$

und die Reaktivität eines Reaktors zum aktuellen Zeitpunkt  $t^k$  ergibt sich aus zeitlich regelmässig erfolgten Neutronenflussmessungen  $\Phi^k \sim n^k$ ,  $k = 0, 1, \dots, k$ , zu

$$\rho_*^k = 1 + \frac{\Lambda^*}{n^k} \left\{ \frac{n^k - n^{k-1}}{\Delta t} - \sum_{i=1}^6 \lambda_i C_i^k(t) \right\} \quad (99)$$

oder

$$\rho_*^k = 1 + \frac{\Lambda^*}{\Phi^k} \left\{ \frac{\Phi^k - \Phi^{k-1}}{\Delta t} - \sum_{i=1}^6 \lambda_i C_i^k(t) \right\}, \quad (100)$$

wenn die  $C_i^k$  ebenfalls aus den  $\Phi^k$  anstelle der  $n^k$  berechnet wurden.

## Die Sechsfaktorformel

Die Sechsfaktorformel geht in vereinfachter Form auch als Neutronen-Strahlungsverluste (Leckage) vernachlässigende Vierfaktorformel auf Eugene Wigner [5] und Enrico Fermi [6] zurück und veranschaulicht die Bedeutung des Multiplikationsfaktors  $k$  aus Gleichung (10). Die Formel beschreibt die Anzahl der *thermischen* Neutronen, die durch ein im Brennstoff eines Reaktors absorbiertes Neutron erzeugt werden und wieder den Weg zurück in den Brennstoff finden, wo sie schliesslich erneut absorbiert werden. Die Formel lautet

$$k = \eta \cdot \epsilon \cdot P_s \cdot p \cdot P_{th} \cdot f. \quad (101)$$

Absorbiert also der Brennstoff eines Reaktors  $n$  thermische Neutronen, so generieren diese letztlich  $k \cdot n$  direkte thermische Nachfahren, welche wiederum vom Brennstoff absorbiert werden und nicht anderswo verlustig gehen. Dabei beschreibt  $\eta$  (thermal fission factor) die sogenannte *Neutronenergiebigkeit* des Brennstoffs. Nicht jedes thermische Neutron, welches im Brennstoff eines Reaktors absorbiert wird, löst aber eine Spaltung aus. Über ein Fünftel der thermischen Neutronen wird in angereichertem Uran (3%  $^{235}\text{U}$ , 97%  $^{238}\text{U}$ ) eingefangen, ohne eine Spaltung auszulösen. Dabei entstehen die Isotope  $^{236}\text{U}$  und  $^{239}\text{U}$ , wobei das  $^{239}\text{U}$  zuerst in  $^{239}\text{Np}$  und schliesslich zu  $^{239}\text{Pu}$  zerfällt. Somit setzt ein im Brennstoff eines Druck- oder Siedewasserreaktors absorbiertes Neutron im Mittel etwas weniger als zwei neue thermische Neutronen frei, obwohl bei einer Kernspaltung etwa  $\nu \simeq 2.5$  Neutronen entstehen. Es ist also zwischen den Begriffen *Kernbrennstoff* und *Spaltstoff* zu unterscheiden. Zum Brennstoff zählt man typischerweise alle Uran- und Plutoniumisotope, welche in einem Brennelement enthalten sind, während die relevanten Spaltstoffe durch  $^{235}\text{U}$ ,  $^{239}\text{U}$  und  $^{241}\text{Pu}$  repräsentiert werden (natürlich können in dieser Betrachtung auch etwas unkonventionellere Isotope wie thermisch spaltbares  $^{233}\text{U}$  oder Thoriumisotope etc. mit einbezogen werden). Es ist zu erwähnen, dass auch ein erfolgreiches Neutron, welches eine Kernspaltung auslöst, als absorbiert gilt: es wird zuerst vom getroffenen Kern einverleibt, bevor dieser nach einer kurzen angeregten Phase als Compoundkern zerplatzt und  $\nu$  Neutronen freisetzt.

Die bei einer Kernspaltung entstehenden hochenergetischen Neutronen können allerdings mit geringer Wahrscheinlichkeit auch  $^{238}\text{U}$ -Kerne spalten; dadurch erhöht sich die Anzahl der bereits vorhandenen Neutronen um einen *Schnellspaltfaktor*  $\epsilon$  (fast fission factor). Zugleich entkommen einige der schnellen Neutronen mit der *schnellen Entkommwahrscheinlichkeit* dem Reaktor und sind für die Kettenreaktion für immer verloren. Der *schnelle Verbleibfaktor*  $P_s$  (fast non-leakage probability) trägt diesem Umstand Rechnung.

Beim anschliessenden Moderationsprozess verlieren die Neutronen durch Stösse (beispielsweise an Moderator-kernen wie  $^{12}\text{C}$  in Graphit,  $^2\text{H}$  in schwerem Wasser oder  $^1\text{H}$  in leichtem Wasser) an kinetischer Energie. Im Energiebereich von 7eV...200eV laufen sie dabei Gefahr, durch sogenannte Resonanzabsorption durch  $^{238}\text{U}$ -Kerne eingefangen zu werden. Wiederum entsteht bei diesem Prozess  $^{239}\text{U}$ , welches sich in Plutonium umwandeln wird. Es kommt nur ein gewisser Anteil der Neutronen im thermischen Bereich an, dieser ist gegeben durch die *Resonanzentkommwahrscheinlichkeit*  $p$  (resonance escape probability). In einem Siedewasserreaktor der Gigawatt-Klasse liegt die Überlebenswahrscheinlichkeit eines Neutrons beim Abbremsvorgang beispielsweise bei ca.  $p \simeq 0.8 = 80\%$ . Allerdings hängt  $p$  in erster Linie vom Wassergehalt im Reaktorkern ab; dieser kann wie bereits erwähnt durch Variation des Kernmassenstroms, also der durch den Reaktorkern pro Zeiteinheit geförderten Wassermenge, kontrolliert werden, was wiederum eine unmittelbare Steuerung der Kettenreaktion ermöglicht. Die Moderationsfähigkeit eines thermischen Reaktors ist definiert durch das Produkt  $W_{th} = \epsilon \cdot P_s \cdot p \simeq p$ .

Die thermalisierten Neutronen diffundieren schliesslich durch den Reaktorkern. Während der Abbremsvorgang in einem Leichtwasserreaktor normalerweise innerhalb von einigen  $10^{-6}\text{s}$  abgeschlossen ist, lebt ein thermi-

sches Neutron anschliessend mit etwa  $10^{-4}$ s noch vergleichsweise lange. Der *thermische Verbleibfaktor*  $P_{th}$  (thermal non-leakage probability) beschreibt den Anteil der Neutronen, die während dieser Phase nicht aus dem Reaktorkern hinausdiffundieren. Die *thermische Nutzung*  $f$  (thermal utilization factor) schliesslich beschreibt den Anteil der thermischen Neutronen, welche wieder im Brennstoff und nicht im restlichen Material der Reaktorkerns absorbiert werden. Mit einem für Leichtwasserreaktoren typischen Wert von  $f \simeq 75\%$  werden also rund 25% der thermischen Neutronen durch Materialien im Reaktorkern absorbiert, welche nicht zum Brennstoff gezählt werden. Viele der thermisch absorbierten Neutronen werden durch die Protonen im Wasser absorbiert, welche sich mit den Neutronen zu Deuteronen verbinden. Eine ähnlich wichtige Rolle spielt in Druckwasserreaktoren die Absorption durch im Kühlwasser in Form von Borsäure ( $B(OH)_3$ ) gelöstem Bor ( $^{10}B$ ). Schliesslich bilden sich im Reaktorbetrieb Spaltprodukte, welche die thermische Nutzung massgeblich beeinflussen. Die wichtigste und unter Umständen zeitlich stark variierende Rolle spielt dabei das instabile Isotop  $^{135}Xe$ , von geringerer Bedeutung ist  $^{149}Sm$ .

Realistische Werte für einen quasi kritischen Leistungsreaktor bei konstanter Nominalleistung wären in obiger Reihenfolge

$$k = 1 = 1.69 \cdot 1.04 \cdot 0.96 \cdot 0.787 \cdot 0.996 \cdot 0.756 . \quad (102)$$

Es vergrössert sich also die thermische Neutronenzahl in einem überkritischen Reaktor beim Durchlaufen eines oben beschriebenen Neutronenzyklus oder "*Fermizyklus*" um den sogenannten Multiplikationsfaktor  $k$ , den wir nun mit  $k$  aus Gleichung (10) identifizieren wollen. Man mag sich nämlich fragen, wie lange sich ein Neutron durchschnittlich im Neutronenzyklus aufhält. Im Rahmen der Eingruppungsgleichung betrachten wir hierzu einen schwach überkritischen Reaktor der Reaktivität  $\rho \ll \beta$ , in welchem die Neutronenzahl mit stabiler Reaktorperiode zeitlich exponentiell wächst. Dann gilt in guter Näherung für die reziproke Reaktorperiode gemäss Gleichung (37)

$$\omega \simeq \frac{\lambda \rho}{\beta - \rho} \simeq \frac{\lambda \rho}{\beta} . \quad (103)$$

Innerhalb der Zeit  $t_F$  soll sich also die Neutronenzahl um den Faktor  $k$  erhöhen. Mit einer stabilen Reaktorperiode gilt also wegen  $e^x \simeq 1 + x$  für  $|x| \ll 1$

$$k = e^{\omega \cdot t_F} \simeq 1 + \omega \cdot t_F = \frac{1}{1 - \rho} \simeq 1 + \rho , \quad (104)$$

also ist

$$t_F \simeq \frac{\rho}{\omega} \simeq \frac{\beta}{\lambda} = \beta \cdot l \equiv L . \quad (105)$$

In Gleichung (105) taucht die mittlere Lebensdauer  $l \simeq 13$ s der Vorläufer auf. Diese dominiert die mittlere Dauer, die ein Fermizyklus in Anspruch nimmt. Zwar durchläuft die Mehrzahl der Neutronen den Fermizyklus innerhalb einer kurzen Zeit der Grössenordnung der Neutronenlebensdauer oder der Generationszeit  $\Lambda \simeq \tau$ . Der geringe Anteil von weniger als einem Prozent der Neutronen, welche in Vorläufern gespeichert den Fermizyklus verzögert, lebt aber ungleich länger und bestimmt im verzögert überkritischen Reaktor die mittlere Verweilzeit der Neutronen im Neutronenzyklus, bei der sich die Neutronenzahl um den Multiplikationsfaktor  $k = \tau/\Lambda$  erhöht.

Man nennt die durch die verzögerten Neutronen dominierte mittlere Generationszeit  $\bar{\Lambda}$  der Neutronen im leicht überkritischen Reaktor  $L = (1 - \beta)\Lambda + \beta \cdot (l + \Lambda) \simeq \beta \cdot l = \bar{\Lambda} = 0.083$ s (für  $^{235}U$ ) auch verzögerte Lebensdauer. Betrachten wir einen Reaktor mit Multiplikationsfaktor  $k = 1.0005$  beziehungsweise  $\rho \simeq 50$ pcm, so verdoppelt sich in einem solchen Reaktor die Neutronenzahl nach 1387 mittleren Neutronenzyklen, da gilt  $1.0005^{1387} = 2$ .

Die Verdoppelungszeit beträgt also  $1387 \cdot 0.083\text{s} = 115\text{s}$ , in recht passabler Übereinstimmung mit dem Wert  $t_2 = 90\text{s}$  aus der Inhourkurve (Figur 2). In einem mit reinem  $^{239}\text{Pu}$  betriebenen Reaktor wäre  $L_{\text{Pu-239}} = 0.03\text{s}$  deutlich geringer.

Bei geringen Reaktivitäten wächst die Neutronenzahl in einem Reaktor also gemäss der Näherung

$$n(t) \simeq n_0 \cdot \exp\left(\frac{\rho}{L} \cdot t\right) \simeq n_0 \cdot \exp\left(\frac{k-1}{L} \cdot t\right) \quad (106)$$

mit einer geeignet gewählten Startzahl  $n_0$  zum Zeitpunkt  $t = 0$ , nachdem sich der Reaktor auf eine stabile Reaktorperiode eingeschungen hat. Gleichung (106) kann auch folgendermassen motiviert werden: Im überkritischen, aber sicheren prompt unterkritischen Bereich hat ein einzelner Neutronenzyklus unter Berücksichtigung der verzögerten Neutronen die Dauer  $\beta \cdot l$ . Nach einer Zeit  $t$  beträgt demnach die Neutronenzahl

$$n(t) = n_0 \cdot k^{t/L} = n_0 \cdot \exp\left(\frac{t}{L} \ln(k)\right) \simeq n_0 \cdot \exp\left(\frac{t}{L} \ln(1 + \rho)\right) \simeq n_0 \cdot \exp\left(\frac{\rho}{L} \cdot t\right) = n_0 \cdot e^{\frac{\lambda \rho}{\beta} \cdot t}. \quad (107)$$

## Diffusion

Die Neutronenflussdichte  $\Phi_{th}$  in einem Reaktorkern ist eine räumlich variierende Grösse. Typische Werte der Neutronenflussdichten in Leistungsreaktoren bewegen sich im Bereich von einigen  $10^{13}\text{cm}^{-2}\text{s}^{-1}$ . Räumliche Gradienten der Flussdichte  $\vec{\nabla} \Phi_{th}$  führen zum lokalen Transport thermischer Neutronen, welcher durch die Neutronenstromdichte  $\vec{j}_{th}(\vec{r})$  im Rahmen der Diffusionsgleichung ( $\bar{v}$  sei konstant)

$$\vec{j}_{th} = -D \cdot \vec{\nabla} \Phi_{th} = -D \cdot \text{grad} \Phi_{th} = -D \cdot \bar{v} \cdot \text{grad} n_{th}^{\square} \quad (108)$$

beschrieben werden kann.  $D$  spielt hierbei die Rolle einer Diffusionskonstanten mit der Dimension einer Länge. Der Neutronendiffusionsstrom trachtet nach einem Dichteausgleich durch den Transport von Neutronen aus Regionen höherer Dichte in Regionen niedrigerer Dichte. Die lokalen Neutronendichteschwankungen durch reine Transportphänomene (d.h. bei unrealistischer Vernachlässigung der Neutronenproduktion durch fortwährende Kernspaltungen) können mit Hilfe der Kontinuitätsgleichung

$$\frac{\partial n_{th}^{\square}}{\partial t} = -\vec{\nabla} \cdot \vec{j}_{th} = -\text{div} \vec{j}_{th} \quad (109)$$

beschrieben werden. Aus der Kombination von Gleichung (108) und (109) ergibt sich die Diffusionsgleichung (*heat equation*)

$$\frac{\partial n_{th}^{\square}}{\partial t} = D \cdot \Delta \Phi_{th} \quad (110)$$

oder

$$\frac{\partial n_{th}^{\square}}{\partial t} = \tilde{D} \cdot \Delta n_{th}^{\square}, \quad \tilde{D} = D \cdot \bar{v}. \quad (111)$$

Die *Greensche* Funktion (oder der *Kern*, die Fundamentallösung) dieser Gleichung im homogenen Raum mit konstanter Diffusionskonstante lautet

$$H(\vec{r}) = \frac{1}{(4\pi \tilde{D}t)^{3/2}} e^{-\frac{\vec{r}^2}{4\tilde{D}t}}. \quad (112)$$

Sie beschreibt das diffusive Zerfliessen einer zur Zeit  $t = 0$  punktförmigen Störung der Neutronendichte. Die Zeitskala, mit der die Gausssche Glockenfunktion in Gleichung (112) zerfliesst, ist gegeben durch  $t_D \simeq \frac{R^2}{4D}$ ,

wenn  $R$  eine charakteristische Ausdehnung der betrachteten Konfiguration beschreibt. Für  $D \simeq 1\text{cm}$ ,  $R \simeq 4\text{m}$  und  $\bar{v} = 3000\text{m/s}$  ergibt sich  $t_D \simeq 0.1\text{s}$  - damit gleichen sich Schwankungen der Neutronendichte in einem prompt unterkritischen Reaktor relativ schnell gegenüber der stabilen Reaktorperiode aus, doch im prompt (über)kritischen Reaktor hat das Punktmodell seine Gültigkeitsgrenzen (auch aus anderen Gründen) erreicht.

## Anhang

### Daten der sechs Vorläufergruppen von $^{235}\text{U}$

Die Daten für  $^{235}\text{U}$  stammen aus einer Arbeit von Keepin, Wimett und Zeigler [3].

Gruppe	Vorläufernuklide	Relativanteil $\beta_i/\beta$	Zerfallskonstante $\lambda_i$ [s $^{-1}$ ]	Lebensdauer $l_i$ [s]	Halbwertszeit $t_{1/2,i}$ [s]
1	$^{93}\text{Br}, \dots$	0.042	3.0137	0.332	0.230
2	$^{140}\text{I}, ^{145}\text{Cs}, \dots$	0.116	1.1360	0.880	0.610
3	$^{144}\text{Cs}, ^{139}\text{I}, ^{90}\text{Br}, \dots$	0.396	0.3014	3.318	2.300
4	$^{138}\text{I}, ^{89}\text{Br}, \dots$	0.195	0.1114	8.974	6.222
5	$^{137}\text{I}, ^{88}\text{Br}, \dots$	0.219	0.03051	32.778	22.72
6	$^{87}\text{Br}$	0.032	0.01244	80.387	55.72

Zur Illustration: Es ist  $t_{1/2}^{88\text{Br}} = 16.3\text{s}$ ,  $t_{1/2}^{137\text{I}} = 24.2\text{s}$ . Es gilt  $\sum_{i=1}^6 \beta_i = \beta \simeq 0.0064$ ,  $l = \sum_{i=1}^6 \beta_i l_i \simeq 12.93\text{s}$ .

Mittlere Neutronenenergien  $\bar{E}_i$  der  $i$ -ten Vorläufergruppe sind  $\bar{E}_2 = 0.42\text{MeV}$ ,  $\bar{E}_3 = 0.62\text{MeV}$ ,  $\bar{E}_4 = 0.43\text{MeV}$ ,  $\bar{E}_5 = 0.56\text{MeV}$  und  $\bar{E}_6 = 0.25\text{MeV}$ .

Die Anteile verzögerter Neutronen für weitere Spaltkerne sind gegeben durch:

$\beta_{U-238} = 1.57\%$ ,  $\beta_{Th-232} = 2.2\%$ ,  $\beta_{U-233} = 0.27\%$ ,  $\beta_{Pu-239} = 0.21\%$ ,  $\beta_{Pu-241} = 0.54\%$ ,  $\beta_{Am-241} = 0.13\%$ ,  $\beta_{Am-241} = 0.24\%$ .

### Das Spektrum der prompten Spaltneutronen

Nach Watt [7] lässt sich das kinetische Energiespektrum der bei der Kernspaltung prompt freigesetzten Neutronen durch den Ausdruck

$$\chi(E) = 0.484 \sinh \sqrt{2E} e^{-E} \quad (113)$$

parametrisieren. Dabei wird die Neutronenenergie  $E$  in MeV gemessen. In ein infinitesimales Energieintervall werden dann je Spaltung  $\bar{\nu}(E_f) \cdot \chi(E) dE$  Neutronen erzeugt, wobei die Neutronenausbeute  $\bar{\nu}$  selbst von der Energie der Neutronen abhängt, welche die Spaltung auslösen. Neutronen, die mit hoher Energie eine Spaltung auslösen, setzen auch eine grössere Anzahl Spaltneutronen frei. Dieser Zusammenhang kann durch eine lineare Beziehung

$$\bar{\nu}(E_f) = \nu_0 + a \cdot E_f \quad (114)$$

dargestellt werden und wurde experimentell im Energiebereich bis 15MeV untersucht ([8], siehe nachfolgende Tabelle).

In guter Näherung lässt sich das thermische Spaltneutronenspektrum auch durch eine Maxwell-Boltzmann-Verteilung darstellen:

$$\chi^{MB}(E) = \frac{2}{\pi^{1/2}T^{3/2}}E^{1/2}e^{-E/T}, \quad (115)$$

mit  $T = 1.29\text{MeV}$  für  $^{235}\text{U}$ . Eine approximative Maxwellverteilung der emittierten Neutronen lässt die Vorstellung eines Nukleonengases in einem hochangeregten Kern zu, der bei einer Temperatur von  $1.5 \cdot 10^{15}\text{K}$  Neutronen abdampft. Die Verteilung  $\chi^{MB}(E)$  in Gleichung (115) ist gemäss

$$\int_0^{\infty} \chi^{MB}(E)dE = 1 \quad (116)$$

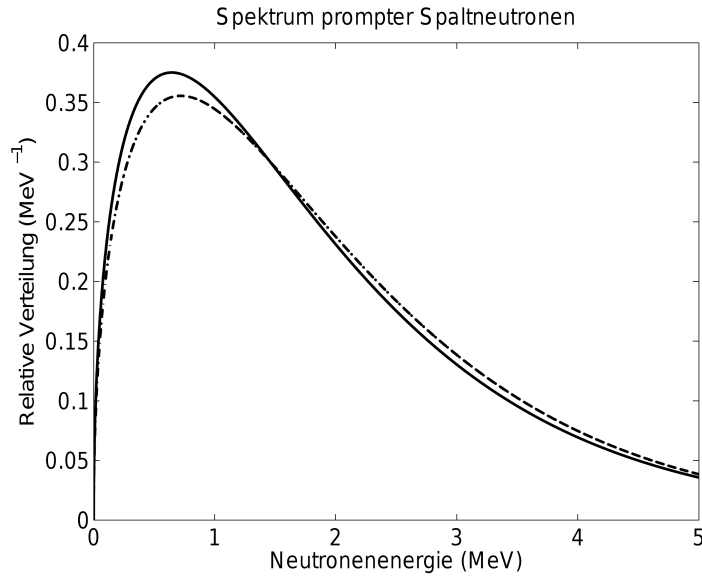
normiert.

Kernbrennstoff	$\nu_0$	a [MeV <sup>-1</sup> ]	Energiebereich [MeV]
$^{232}\text{Th}$	1.87	0.164	0<E<15
$^{233}\text{U}$	2.48	0.075	0<E<1
	2.41	0.136	1<E<15
$^{235}\text{U}$	2.43	0.065	0<E<1
	2.35	0.150	1<E<15
$^{238}\text{U}$	2.30	0.160	0<E<15
$^{239}\text{Pu}$	2.87	0.138	0<E<1
	2.91	0.133	1<E<15

Der Parameter  $T = 1.29\text{MeV}$  ist mit der mittleren Energie der Spaltneutronen über die Beziehung

$$\bar{E} = \int_0^{\infty} E\chi^{MB}(E)dE = \frac{3}{2}T \quad (117)$$

verknüpft. Die mittleren Neutronenenergien sind für die relevanten Spaltstoffe im Wesentlichen gleich: Für obiges  $T$  ist  $\bar{E}_{U-235} = 1.935 \pm 0.05\text{MeV}$ , weiter ist  $\bar{E}_{U-233} = 1.96 \pm 0.05\text{MeV}$  und  $\bar{E}_{Pu-239} = 2.00 \pm 0.05\text{MeV}$  [8].



Figur 4: Spektrum der Spaltneutronen nach Gleichung (113) (ausgezogene Kurve) und Gleichung (115) (punktgetrichene Kurve).

### Lösung der Inhour-Gleichung

Die reaktorkinetischen Grundgleichungen mit  $m$  Vorläufergruppen lauten

$$\frac{dn}{dt} = \frac{\rho - \beta}{\Lambda} n + \lambda_1 C_1 + \dots + \lambda_m C_m, \quad (118)$$

$$\frac{dC_i}{dt} = \frac{\beta_i}{\Lambda} n - \lambda_i C_i, \quad i = 1 \dots m. \quad (119)$$

Die Summe der Gleichungen (118) und (119) führt auf

$$\dot{n} + \dot{C}_1 + \dots + \dot{C}_m = \frac{\rho}{\Lambda} n. \quad (120)$$

Mit dem Exponential-Ansatz

$$n(t) = n_0 \cdot e^{\omega t}, \quad (121)$$

$$C_i(t) = C_{i,0} \cdot e^{\omega t} \quad (122)$$

führt Gleichung (119) auf

$$\omega C_{i,0} = \frac{\beta_i}{\Lambda} n_0 - \lambda_i C_{i,0} \quad \text{oder} \quad C_{i,0} = \frac{\beta_i}{\Lambda(\omega + \lambda_i)} n_0. \quad (123)$$

Dieses Zwischenresultat ergibt eingesetzt in Gleichung (120) die berühmte Inhour-Gleichung

$$\omega + \sum_{i=1}^m \frac{\omega \beta_i}{\Lambda(\omega + \lambda_i)} = \frac{\rho}{\Lambda} \quad (124)$$

oder

$$\omega \left( \Lambda + \sum_{i=1}^m \frac{\beta_i}{\omega + \lambda_i} \right) = \rho. \quad (125)$$

Diese Gleichung ist äquivalent zu einer polynomialen Gleichung  $m+1$ -ten Grades. Durch Multiplikation der Inhour-Gleichung mit  $(\omega + \lambda_1) \cdot \dots \cdot (\omega + \lambda_m)$  ergibt sich nämlich

$$\omega \Lambda (\omega + \lambda_1) \cdot \dots \cdot (\omega + \lambda_m) + \omega \sum_{i=1}^m \beta_i (\omega + \lambda_1) \cdot \dots \cdot \cancel{(\omega + \lambda_i)} \cdot \dots \cdot (\omega + \lambda_m) = \rho (\omega + \lambda_1) \cdot \dots \cdot (\omega + \lambda_m), \quad (126)$$

was kompakter in der Form

$$(\omega \Lambda - \rho) \prod_{i=1}^m (\omega + \lambda_i) + \omega \sum_{i=1}^m \beta_i \prod_{\substack{j=1 \\ j \neq i}}^m (\omega + \lambda_j) = 0 \quad (127)$$

geschrieben werden kann. Es existieren also  $m + 1$  reziproke (oder inverse) Reaktorperioden  $\omega_1 \geq \dots \geq \omega_{m+1}$ , welche die obige Gleichung lösen, wobei wir in der Praxis vom nicht-entarteten Fall ausgehen können und annehmen, dass die reziproken Reaktorperioden paarweise verschieden sind ( $\omega_i \neq \omega_j$  für  $i \neq j$ ). Trivialerweise gilt  $\lambda_i \neq \lambda_j$  für  $i \neq j$ , da man verschiedene Vorläufer mit identischer mittlerer Lebensdauer in einer gemeinsamen Vorläufergruppe zusammenfassen würde.

Es ist nun leicht zu zeigen, dass für positive Reaktivität  $\rho > 0$  genau eine positive reziproke stabile Reaktorperiode  $\omega_1$  existiert, welche die Bedingung (125)

$$\omega_1 = \frac{\rho}{\Lambda + \sum_{i=1}^m \frac{\beta_i}{\omega_1 + \lambda_i}} \quad (128)$$

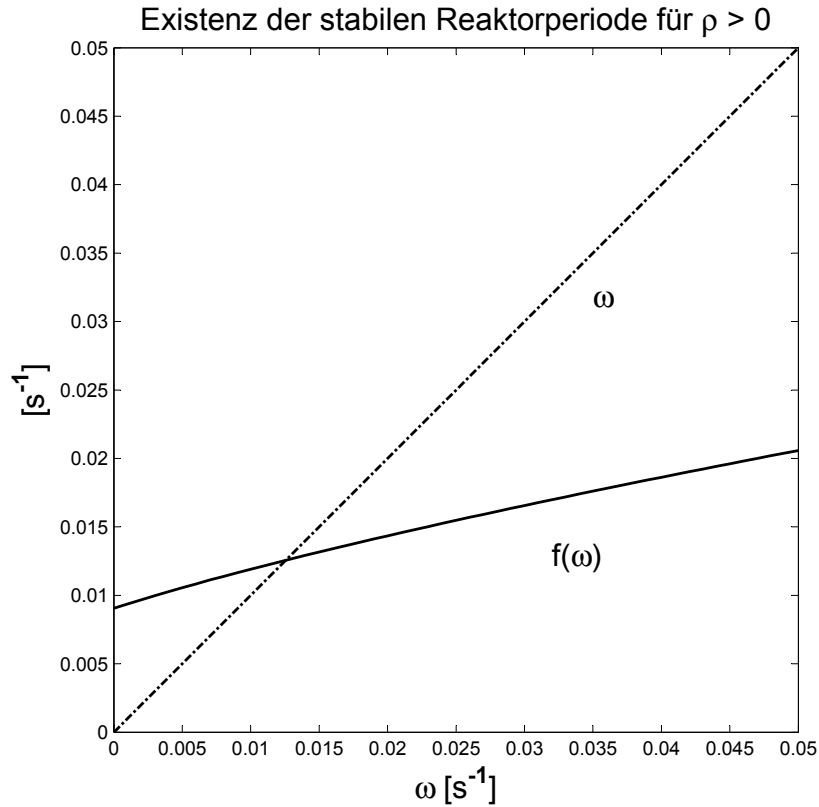
erfüllt. Betrachten wir nämlich im betrachteten Falle die für  $\omega > 0$  offensichtlich streng monoton wachsende, konkave und beschränkte Funktion

$$f(\omega) = \frac{\rho}{\Lambda + \sum_{i=1}^m \frac{\beta_i}{\omega + \lambda_i}}, \quad (129)$$

so gilt offensichtlich

$$0 < f(0) = \frac{\rho}{\Lambda + \sum_{i=1}^m \frac{\beta_i}{\lambda_i}} = \frac{\rho}{\Lambda + \beta l} < \lim_{\omega \rightarrow \infty} f(\omega) = \frac{\rho}{\Lambda} < \infty. \quad (130)$$

Wie in Figur 5 dargestellt liegen für  $\omega \geq 0$  die Funktionswerte von  $f(\omega)$  im Intervall  $[\frac{\rho}{\Lambda + \beta l}, \frac{\rho}{\Lambda}]$  ( $l$  ist die mittlere Lebensdauer der Vorläufer), sodass aus den Eigenschaften des Funktionsgraphen von  $f$  zwangsläufig die Existenz einer eindeutigen positiven Reaktorperiode  $1/\omega_1$  mit  $\omega_1 = f(\omega_1)$  folgt.



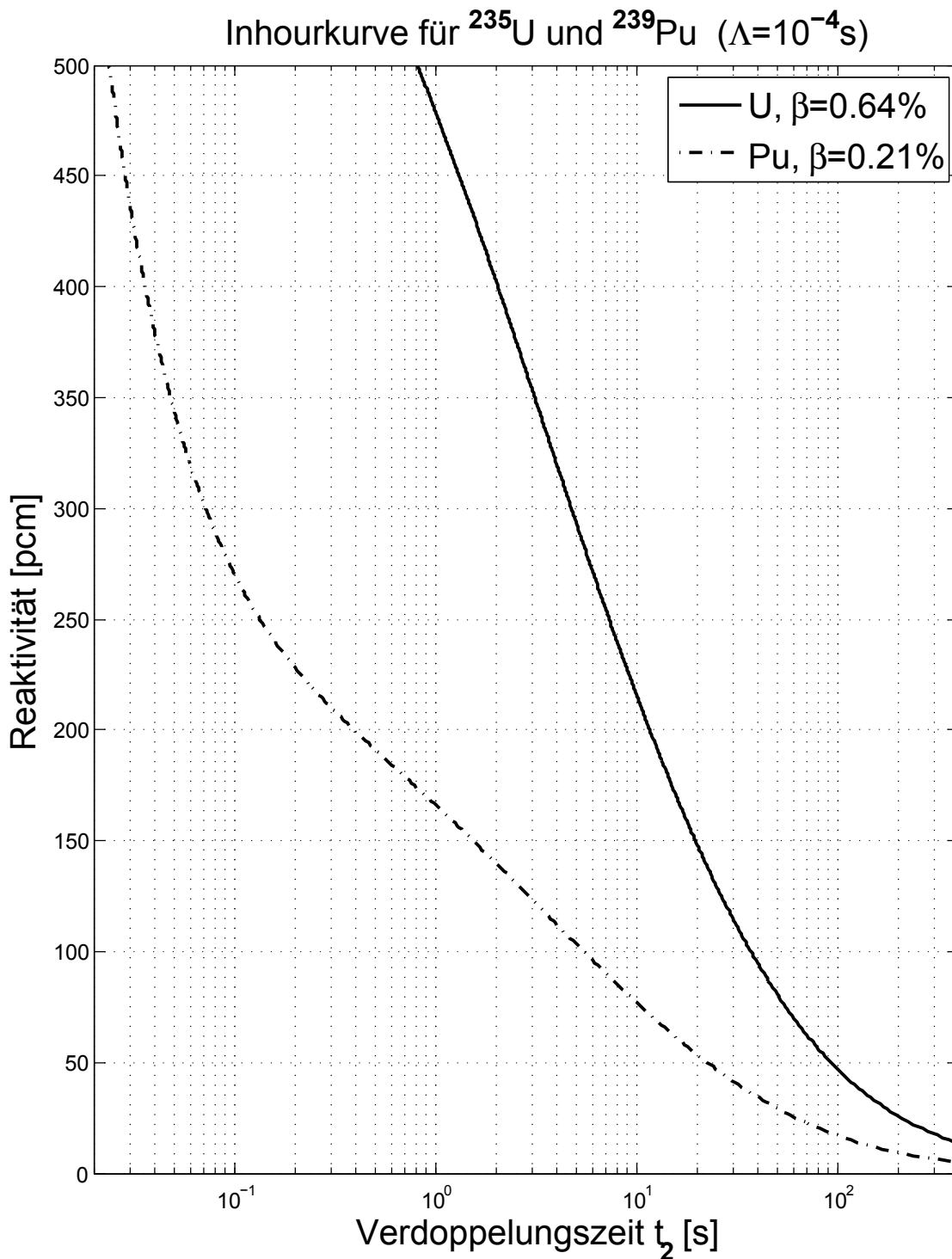
Figur 5: Verlauf der gemäss Gleichung (131) definierten Funktion  $f(\omega)$  für einen Beispielwert  $\rho = 0.00075 = 75\text{pcm}$ .

Aus der obigen Berechnung folgt eine einfache iterative Berechnungsmethode für die stabile Reaktorperiode. Als vernünftigen Startwert wähle man  $\omega_1^1 = \frac{\rho}{\beta l}$ . Dann berechne man Folgewerte  $\omega_1^2, \omega_1^3, \dots$  gemäss der Vorschrift

$$\omega_1^{k+1} = \frac{\rho}{\Lambda + \sum_{i=1}^m \frac{\beta_i}{\omega_1^k + \lambda_i}}. \quad (131)$$

Die so erhaltene Zahlenfolge  $\{\omega_1^k\}_{k \in \mathbb{N}}$  konvergiert rasch gegen  $\omega_1$ :

$$\lim_{k \rightarrow \infty} \omega_1^k = \omega_1. \quad (132)$$



Figur 6: Verdoppelungszeit versus Reaktivität in der Sechsprüppennäherung für  $^{235}\text{U}$  mit  $\beta_{U-235} = 0.0064$  und  $^{239}\text{Pu}$  mit  $\beta_{Pu-239} = 0.0021$  und  $\Lambda = 10^{-4}\text{s}$ .

## Berechnung der Produktionswahrscheinlichkeit $\mathcal{P}$

### Mikroskopische Wirkungsquerschnitte

Die mit dem griechischen Symbol  $\sigma$  bezeichneten mikroskopischen Wirkungsquerschnitte stellen einen zentralen Begriff der Kernphysik und der Kerntechnik dar, welcher mit der praktischen Berechnung von Neutronenreaktionsraten in unmittelbarer Weise verknüpft ist. Aus der Sicht eines einzelnen Neutrons kann ein Reaktionspartner wie beispielsweise ein  $^{235}\text{U}$ -Kern als eine Zielscheibe aufgefasst werden, deren Flächennormale sich jeweils parallel zur Bewegungsrichtung des Neutrons auf tut. Die Zielscheibenfläche lässt sich weiter in diverse Bereiche unterschiedlicher Grösse aufgeteilt denken. Trifft ein Neutron auf einen dieser Bereiche auf, so löst es eine mit diesem Bereich assoziierte Reaktion mit dem Zielkern aus.

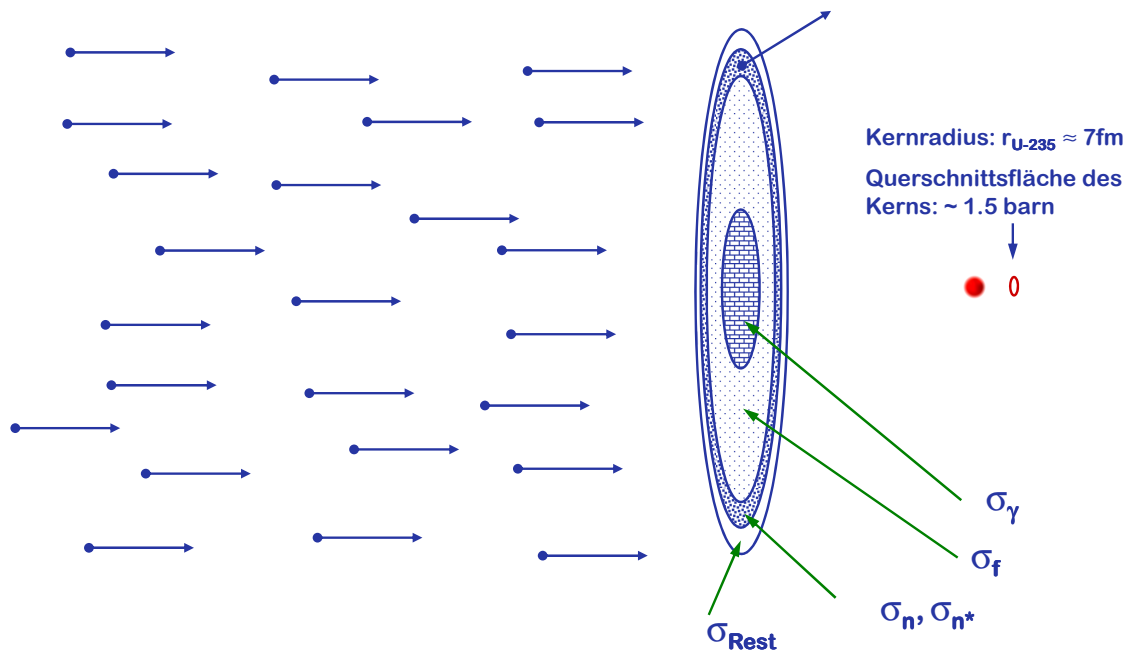
Das in der Abbildung 7 dargestellte Sinnbild zeigt solche Flächenbereiche für die wichtigsten Reaktionen mit spaltbaren Kernen wie dem  $^{235}\text{U}$ -Kern als konzentrische Ringe dargestellt. Der zentrale Kreis steht sinngemäss für den Neutroneneinfangquerschnitt  $\sigma_\gamma$ , welcher für Neutronen mit einer für den thermischen Bereich typischen Energie von  $k_B \cdot 293\text{K} = 0.025\text{eV}$  etwa  $95\text{b} = 95 \cdot 10^{-24}\text{cm}^2$  beträgt. Die in der Teilchenphysik gebräuchliche Flächeneinheit von  $10^{-24}\text{cm}^2$  ist das Barn (englisch für Scheune) mit dem Einheitenzeichen b. Trifft ein Neutron in diesen Bereich der Zielscheibe, so bildet es mit dem  $^{235}\text{U}$ -Kern einen langlebigen, für die Kettenreaktion nutzlosen  $^{236}\text{U}$ -Kern, der lediglich zum radioaktiven Abfallinventar eines Reaktors beiträgt. Der durch den Neutronentreffer angeregte  $^{236}\text{U}$ -Kern emittiert seine überschüssige Energie in Form von  $\gamma$ -Quanten, was die Indizierung des Wirkungsquerschnitts erklärt.

Ein Treffer des Spaltwirkungsquerschnitts  $\sigma_f$  löst aber eine Kernspaltung aus. Für thermische Neutronen der kinetischen Energie  $0.025\text{eV}$  ist  $\sigma_f = 586\text{b}$ ; allerdings ist der Spaltquerschnitt wie der Neutroneneinfangquerschnitt stark von der Neutronenenergie abhängig und sinkt im MeV-Bereich auf die Grössenordnung von einem Barn.

Mit einer im thermischen Bereich bedeutend kleineren Wahrscheinlichkeit wird ein Neutron bei einer Kollision mit einem  $^{235}\text{U}$ -Kern lediglich umgelenkt und streut elastisch ( $\sigma_n$ ) oder inelastisch ( $\sigma_{n^*}$ ), wobei es bei der inelastischen Streuung den Kern in einem angeregten Zustand hinterlässt.

$\sigma_{Rest}$  in Abbildung 7 steht für sämtliche übrigen Neutronenreaktionen wie zum Beispiel dem Herausschlagen eines einzelnen Protons bei gleichzeitiger Einverleibung des Neutrons im Restkern. Die Untersuchung solcher Reaktionen ist ein interessantes Thema für sich, für unsere Betrachtungen sind sie aber von geringer Bedeutung.

Tatsächlich ist die oben geschilderte Darstellung der Wirkungsquerschnitte künstlich und entspricht nicht der Realität, die durch quantenmechanische Begriffe besser angenähert werden kann. Dennoch lassen sich Wirkungsquerschnitte als physikalische Beobachtungsgrössen rigoros definieren und sind im oben dargestellten Rahmen sinnvoll für praktische Berechnungen verwendbar.



Figur 7: Sinnbild für die relevanten Neutronen-Wirkungsquerschnitte eines  $^{235}\text{U}$ -Kerns.

### Die Produktionswahrscheinlichkeit $\mathcal{P}$

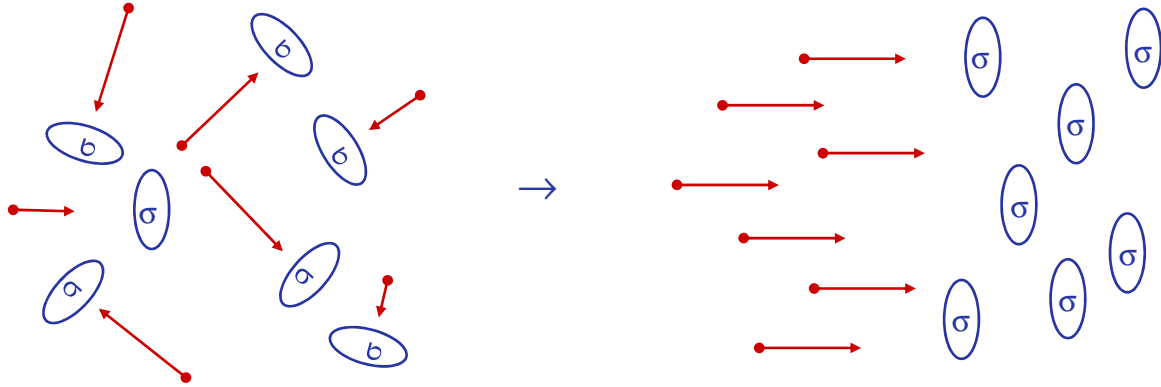
Für das nun folgende Gedankenexperiment wollen wir als grobe Näherung annehmen, dass der Reaktorkern homogen mit  $^{235}\text{U}$  als Spaltstoff belegt ist. Weiter soll auch die thermische Neutronenflussdichte im Reaktor in guter Näherung mit einem effektiven Durchschnittswert  $\Phi_{th}$  repräsentiert werden können. Dies ist keine absolut gerechtfertigte Annahme, da die Neutronenflussdichte in einem homogen beladenen Reaktorkern im Normalfall am Reaktorrand auf Grund der Leckage erniedrigt ist. Dennoch stellt diese Tatsache für die folgenden prinzipiellen Überlegungen keine wesentliche Beeinträchtigung dar. Wir stellen uns also vor, dass sich sämtliche Neutronen in einem Reaktor für eine sehr kurze Zeit und mit betragsmässig unveränderter Geschwindigkeit in dieselbe Richtung bewegen. Es herrscht dann im Reaktor eine thermische Neutronenstromdichte

$$I_{th} = n_{th}^{\square} \cdot \bar{v}, \quad (133)$$

wobei  $\bar{v}$  die mittlere Neutronengeschwindigkeit der thermischen Neutronen ist. Die thermische Neutronendichte lässt sich schreiben als

$$n_{th}^{\square} = n/V, \quad (134)$$

wobei  $V$  das Gesamtvolumen des Reaktorkerns bezeichnet.  $I_{th} \cdot \Sigma$  beschreibt die Anzahl Neutronen, die pro Zeiteinheit eine zur Bewegungsrichtung quer stehende Fläche  $\Sigma$  durchdringen. Bezeichnen wir die Anzahl der  $^{235}\text{U}$ -Kerne im Reaktorkern mit  $N_{U-235}$ , so spannen aber diese Kerne eine Gesamtfläche  $N_{U-235} \cdot \sigma_f$  für Kernspaltungen auf.



Figur 8: Sinnbild für die begriffliche Unterscheidung einer Neutronenstromdichte (rechts) und einer Neutronenflussdichte (links).

Wie in Abbildung 8 sinngemäss dargestellt spielt es für die Neutronen keine Rolle, ob sie sich in einem homogenen Reaktor gerichtet als Strom oder ungerichtet als Neutronenfluss bewegen; jeder  $^{235}\text{U}$ -Kern präsentiert sich einem herannahenden Neutron als Zielscheibe mit den entsprechenden Wirkungsquerschnitten. Wir können bei der Berechnung von Reaktionsraten den Strom  $I_{th}$  durch die thermische Neutronenflussdichte  $\Phi_{th}$  ersetzen, die Kernspaltungsrates  $R_f$  im Reaktorkern ist also gegeben durch die Anzahl der Neutronen, welche die Gesamtfläche  $\Sigma = N_{U-235} \cdot \sigma_f$  pro Zeiteinheit durchdringen

$$R_f = \Sigma \cdot \Phi_{th} = N_{U-235} \cdot \sigma_f \cdot n_{th}^{\square} \cdot \bar{v} = N_{U-235}^{\square} \cdot \sigma_f \cdot n_{th} \cdot \bar{v}, \quad (135)$$

wobei in der obigen Formel die Neutronendichte zur Neutronenzahl und die Spaltkernzahl zur Spaltkerndichte umgeschrieben wurde. Da bei einer Kernspaltung durchschnittlich  $\nu \simeq 2.5$  schnelle Neutronen entstehen, aus welchen wiederum durchschnittlich  $W_{th} \cdot \nu$  thermische Neutronen entstehen, ist die thermische Neutronenproduktionsrate gegeben durch

$$P = \mathcal{P} \cdot n = W_{th} \cdot \nu \cdot \bar{v} \cdot N_{U-235}^{\square} \cdot \sigma_f \cdot n_{th}, \quad (136)$$

d.h. es gilt für die Neutronenproduktionswahrscheinlichkeit

$$\mathcal{P} = W_{th} \cdot \nu \cdot \bar{v} \cdot \Sigma_f, \quad (137)$$

wobei der in der Kerntechnik verwendete sogenannte makroskopische Spaltwirkungsquerschnitt  $\Sigma_f = N_{U-235}^{\square} \cdot \sigma_f$  eingeführt wurde (Spalt(wirkungs)querschnitt pro Volumeneinheit).

Es bleibt zu bemerken, dass sich der thermische  $^{235}\text{U}$ -Spaltquerschnitt etwa invers proportional zur Neutronengeschwindigkeit verhält, weswegen für Rechnungen bei höheren Temperaturen in guter Näherung die Wir-

kungsquerschnitte bei Raumtemperatur und die sogenannte Westcott-Geschwindigkeit der Neutronen bei Raumtemperatur  $\bar{v} \simeq 2.2 \cdot 10^5 \text{cm}\cdot\text{s}^{-1}$  verwendet werden können. Der Leser ist dazu eingeladen, die Neutronenproduktionswahrscheinlichkeit  $\mathcal{P}$  für einen 3GW-Siedewasserreaktor mit zu 3% angereichertem Spaltstoff der Uran-Gesamtmasse 100t und einem Reaktorvolumen von  $50\text{m}^3$  zu berechnen.

## Literatur

- [1] R. Roberts, R. Meyer, L. Hafstad, P. Wang, *Further Observations on the Splitting of Uranium and Thorium*, Phys. Rev. **55** (1939) 510.
- [2] B. Pfeiffer, K. Kratz, P. Möller, *Status of Delayed-Neutron Data: Half-Lives and Neutron Emission Probabilities*, Los Alamos National Laboratory, Los Alamos, NM, 2001.
- [3] G. R. Keepin, T. F. Wimett, R. K. Zeigler, *Delayed Neutrons from Fissionable Isotopes of Uranium, Plutonium, and Thorium*, Phys. Rev. **107** (1957) 1044-1049.
- [4] G. D. Spriggs, J. M. Campbell, V. M. Piksaikin, *An 8-Group Delayed Neutron Model Based on a Consistent Set of Half-Lives*, Prog. Nucl. Energy **41** (2002) 223-251.
- [5] E. P. Wigner, *Theoretical Physics in the Metallurgical Laboratory of Chicago*, J. Appl. Phys. **17** (1946) 857.
- [6] E. Fermi, *Elementary Theory of the Chain-reacting Pile*, Science **105** (1947) 27.
- [7] B. E. Watt, *Energy Spectrum of Neutrons from Thermal Fission of  $U^{235}$* , Phys. Rev. **87** (1952) 1037-1041.
- [8] G. R. Keepin, *Physics of Nuclear Kinetics*, Adisson Wesley Publ. Comp. Inc. (1965).